

フェルミ研ブースター
ニュートリノビームを用いた
短基線ニュートリノ振動の探索

中島 康博 (京都大学)

2010年2月16

ICEPPシンポジウム

Contents

- Introduction
 - ニュートリノ振動
 - 何を探そうとしているか
- Experimental Setup
 - ブースターニュートリノビーム
 - SciBooNE と MiniBooNE 検出器
- ニュートリノ振動解析

Introduction

Neutrino Oscillation

- ニュートリノ振動：
- ニュートリノのフレーバー固有状態と質量固有状態が混合しているため、時間(飛行距離)とともにフレーバーが変化する現象。

$$|\nu_\alpha(t=0)\rangle = \sum_i U_{\alpha i} |\nu_i\rangle. \quad \alpha = e, \mu, \tau \text{ (フレーバー固有状態)} \\ i = 1, 2, 3 \text{ (質量固有状態)}$$

$$U = \begin{pmatrix} 1 & & \\ c_{23} & s_{23} & \\ -s_{23} & c_{23} & \end{pmatrix} \begin{pmatrix} c_{13} & s_{13}e^{-i\delta} & 1 \\ -s_{13}e^{i\delta} & c_{13} & \\ \end{pmatrix} \begin{pmatrix} c_{12} & s_{12} & \\ -s_{12} & c_{12} & \\ \end{pmatrix} \quad \text{MNS行列}$$

$s_{ij} = \sin \theta_{ij}, c_{ij} = \cos \theta_{ij}$



$$\begin{aligned} P_{\alpha \rightarrow \beta} &= \left| \langle \nu_\beta(t) | \nu_\alpha(0) \rangle \right|^2 && \text{振動確率} \\ &= \sin^2 2\theta \sin^2 \left(\frac{1.27 \Delta m^2 [\text{eV}^2] L [\text{km}]}{E [\text{GeV}]} \right) \end{aligned}$$

θ : 混合の大きさ
 Δm^2 : ニュートリノ質量二乗差
 L : 飛行距離
 E : ニュートリノエネルギー

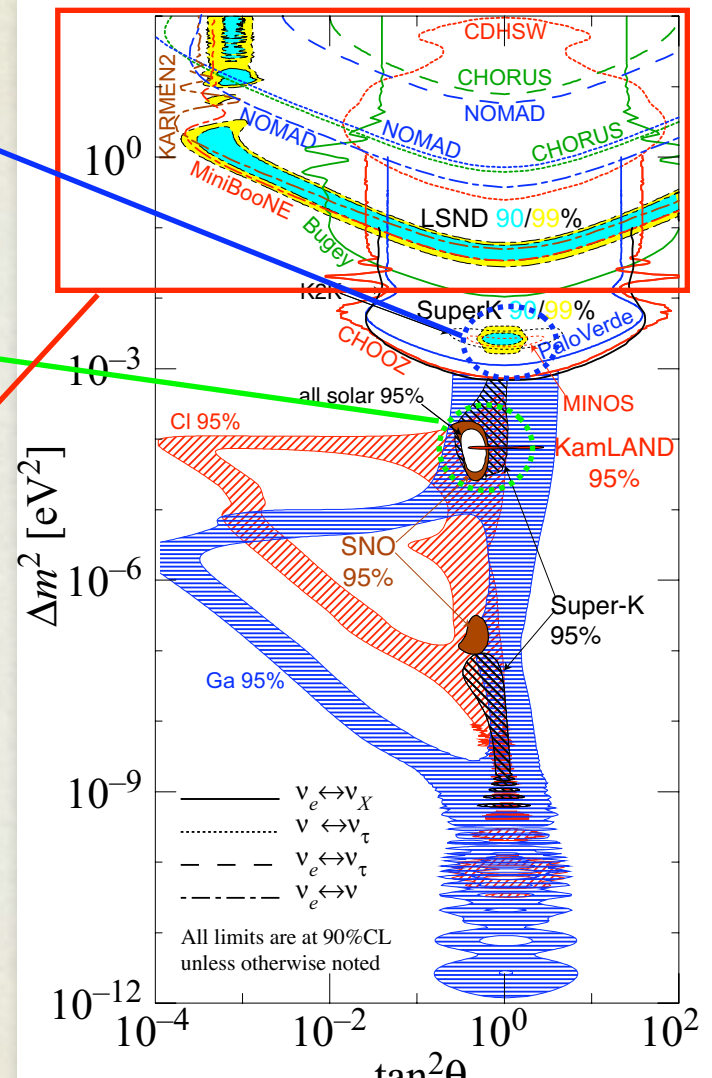
Neutrino Oscillations

- Atmospheric region: $\Delta m^2 \sim 10^{-3} \text{ eV}^2$
- Super-K, K2K, MINOS, etc

- Solar region: $\Delta m^2 \sim 10^{-5} \text{ eV}^2$
- SNO, Super-K, KamLAND, etc.

Only 2 Δm^2 regions are allowed in the current
SM with 3 neutrino generations

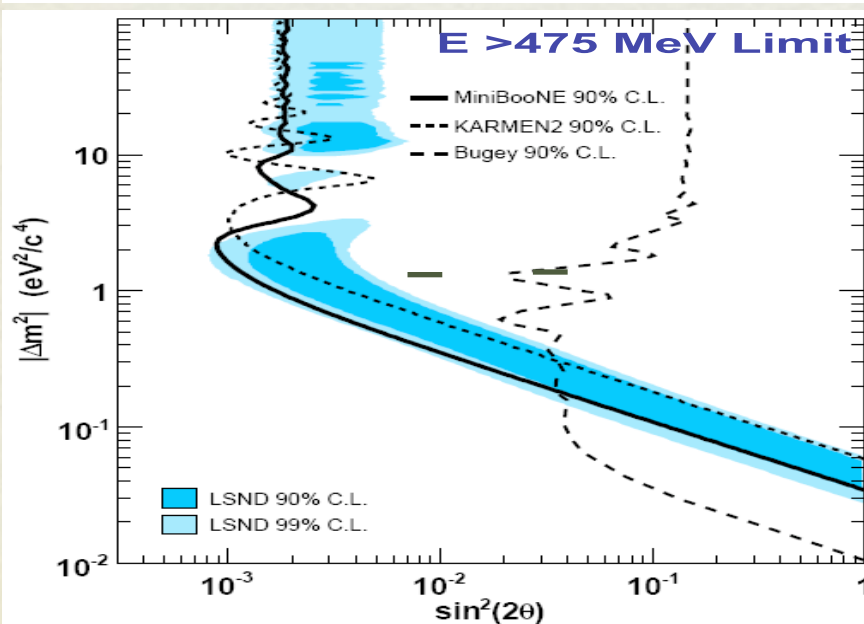
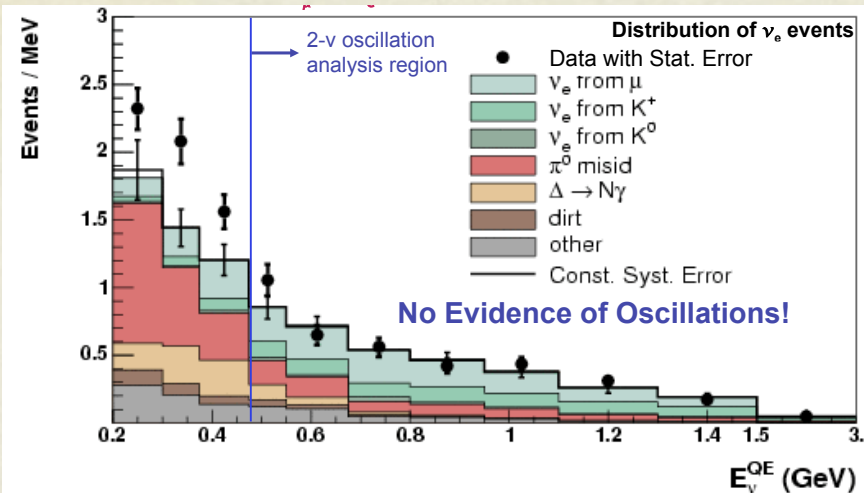
- High Δm^2 region: $\Delta m^2 \sim 1 \text{ eV}^2$
- Observed at LSND ($\bar{\nu}_\mu \rightarrow \bar{\nu}_e$)
- Ruled out by MiniBooNE
if $P(\nu_\mu \rightarrow \nu_e) = P(\bar{\nu}_\mu \rightarrow \bar{\nu}_e)$



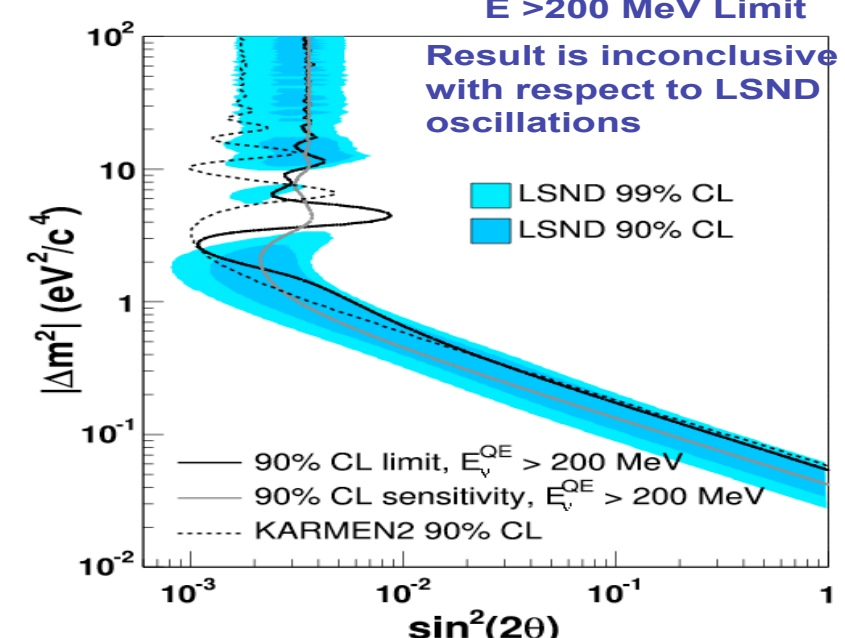
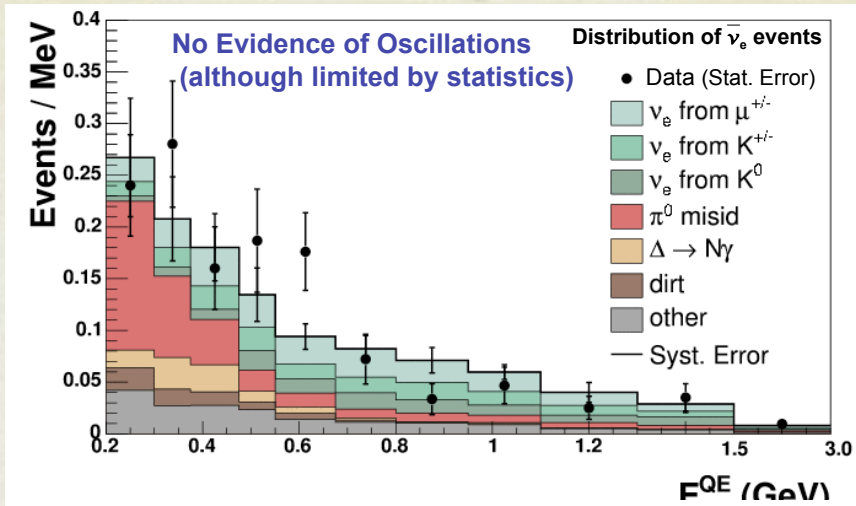
<http://hitoshi.berkeley.edu/neutrino>

MiniBooNE ν_e results

$\nu_\mu \rightarrow \nu_e$ 探索

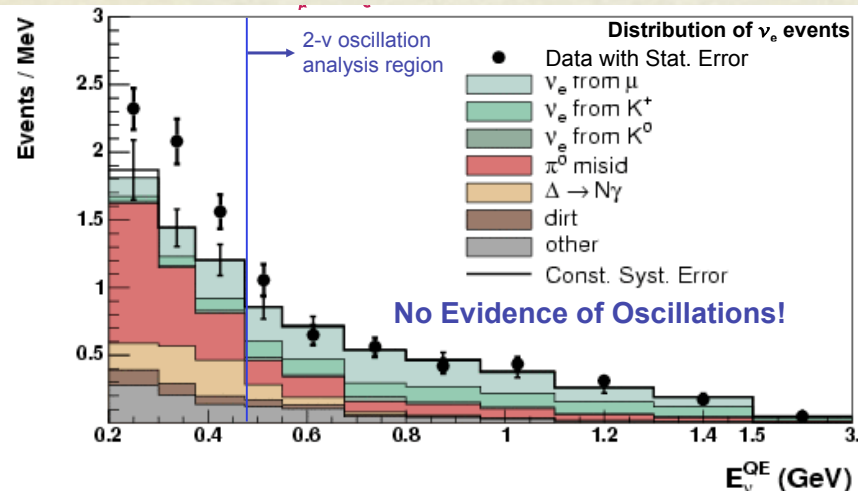


$\bar{\nu}_\mu \rightarrow \bar{\nu}_e$ 探索



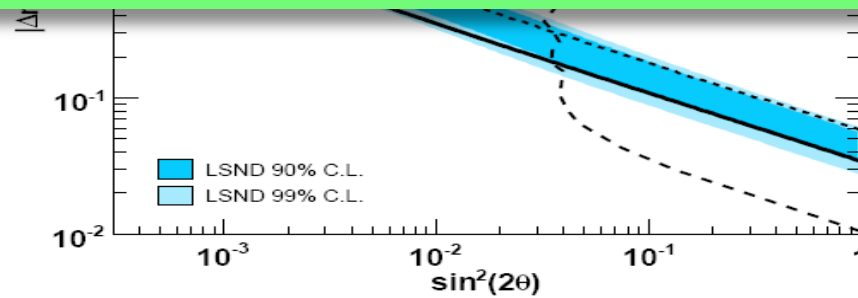
MiniBooNE ν_e results

$\nu_\mu \rightarrow \nu_e$ 探索

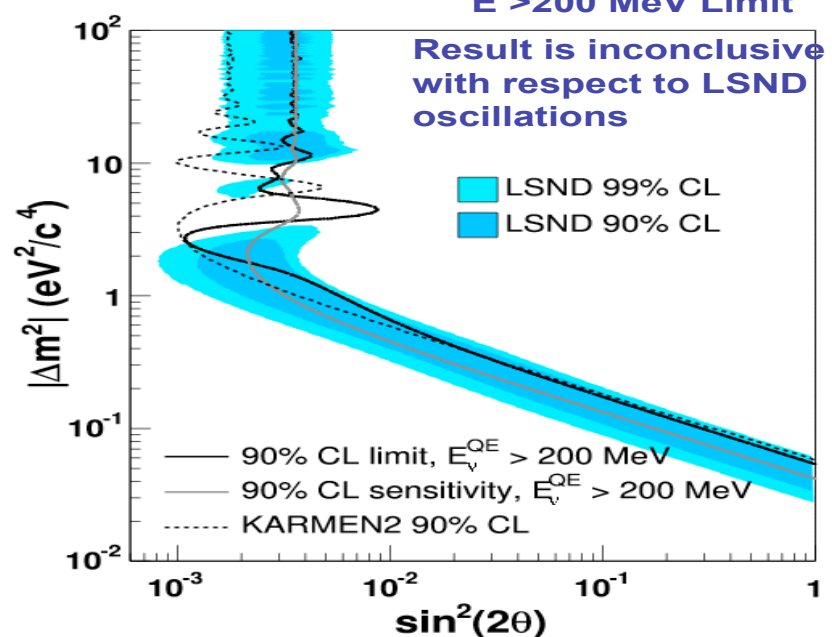
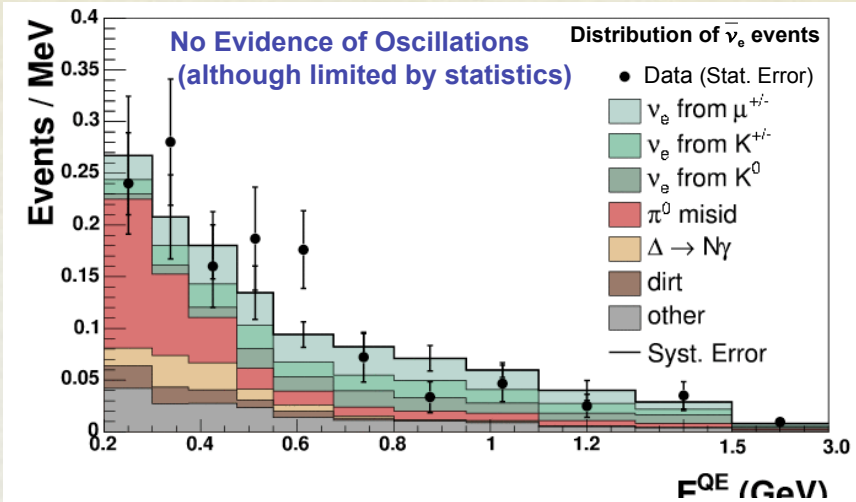


LSNDの信号領域は棄却

$(P(\nu_\mu \rightarrow \nu_e) = P(\bar{\nu}_\mu \rightarrow \bar{\nu}_e))$ を仮定)

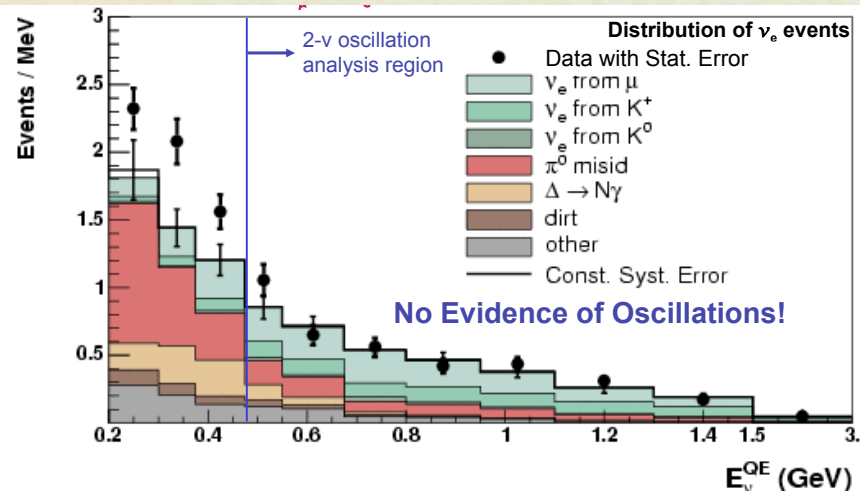


$\bar{\nu}_\mu \rightarrow \bar{\nu}_e$ 探索



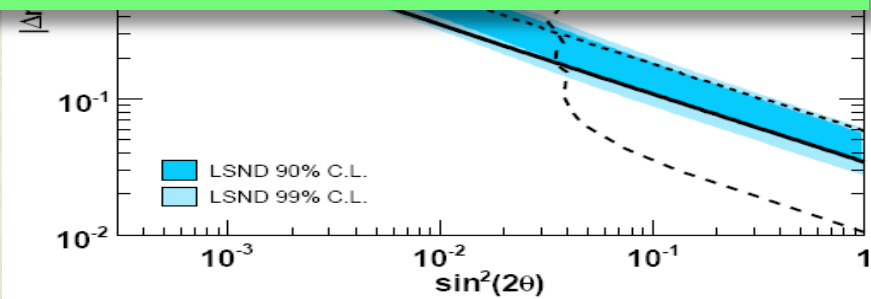
MiniBooNE ν_e results

$\nu_\mu \rightarrow \nu_e$ 探索

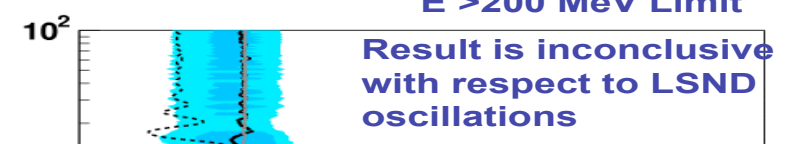
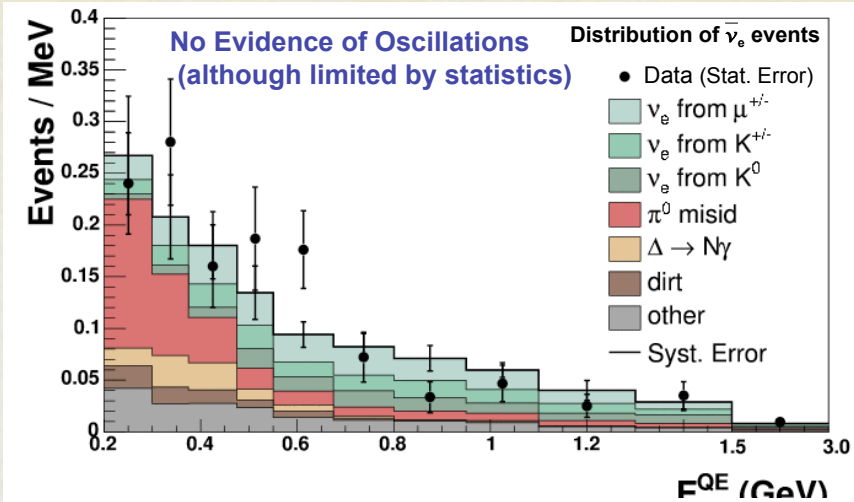


LSNDの信号領域は棄却

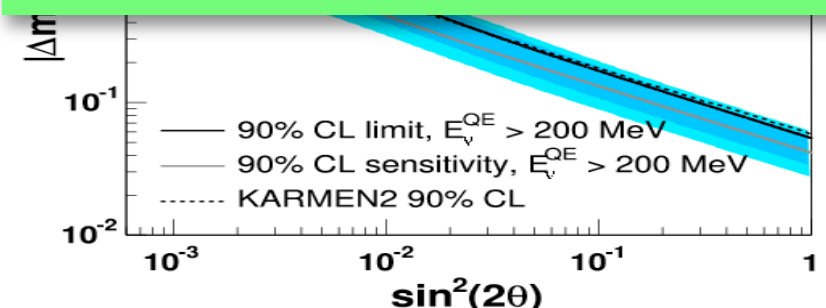
$(P(\nu_\mu \rightarrow \nu_e) = P(\bar{\nu}_\mu \rightarrow \bar{\nu}_e))$ を仮定)



$\bar{\nu}_\mu \rightarrow \bar{\nu}_e$ 探索



LSND領域をテストするには
もう少し統計が必要



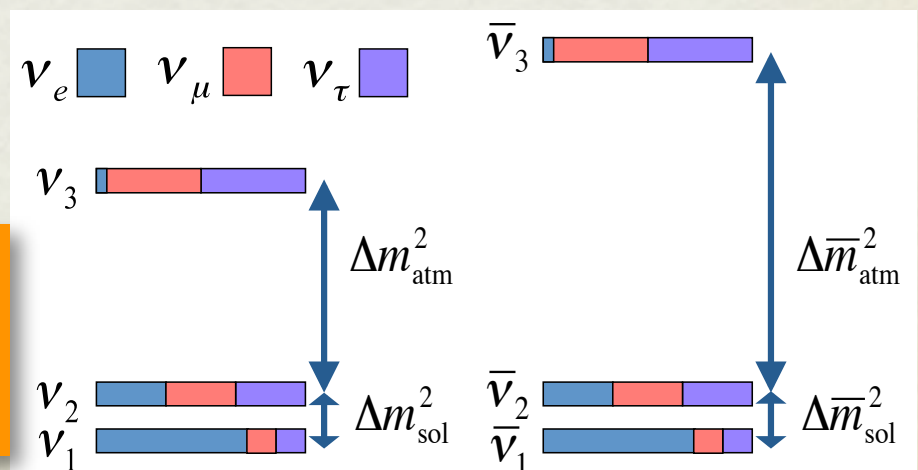
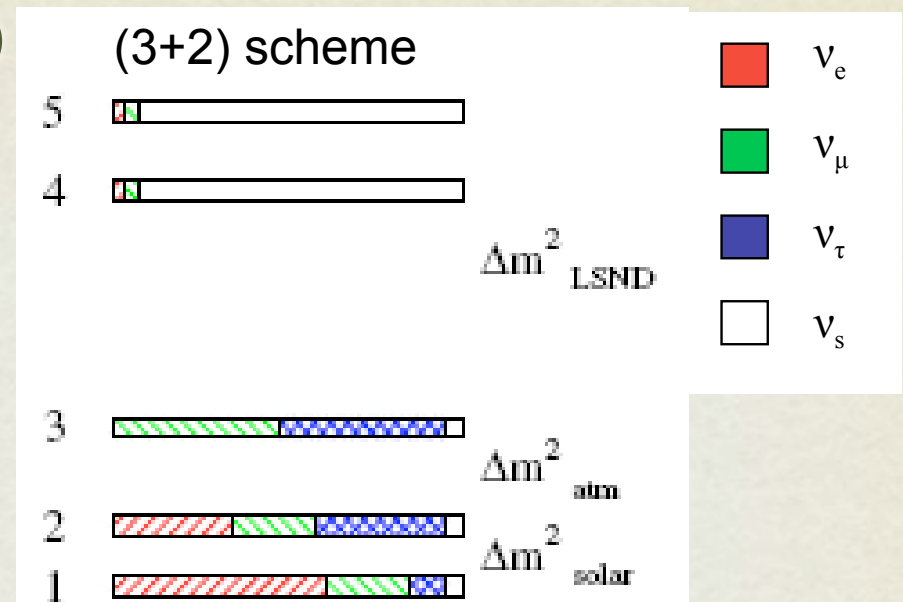
Possible Scenarios

(ニュートリノ振動の枠組みの中では)

- “Sterile” ニュートリノとの振動 + CP-violation
- CPの破れは混合行列の複素位相
- (Effective) CPT-violation
 - Δm^2 が ν とanti- ν で違う

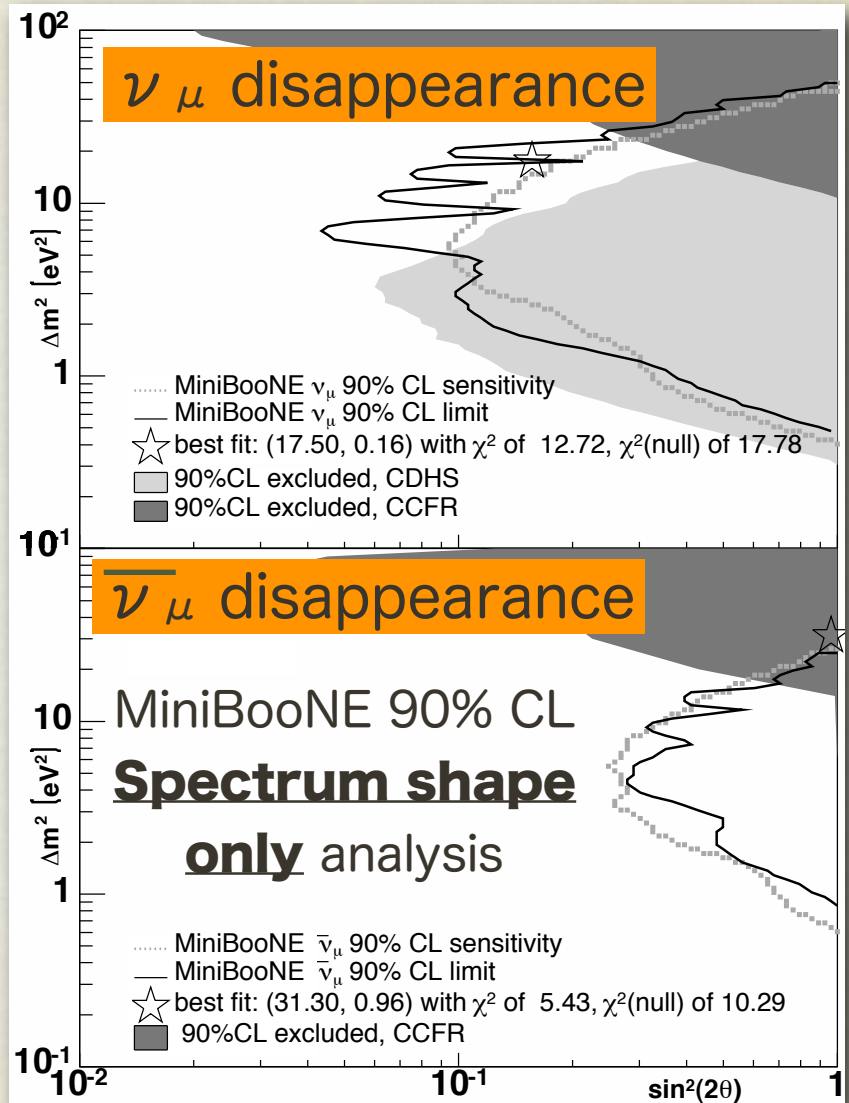
ν_μ /anti- ν_μ 消失を測定することに

よってもこれらのモデルを検証可能



Search for Muon Neutrino Disappearance at high Δm^2

- MiniBooNEのデータのみを用いた解析
 - スペクトラムの「形」のみを用いた解析
 - フラックスと断面積の不定性大
 - 前置検出器(SciBooNE)を用いればより高い感度での探索が可能！



Phys. Rev. Lett. 103, 061802 (2009)



SciBooNE Detector Installation April, 2007

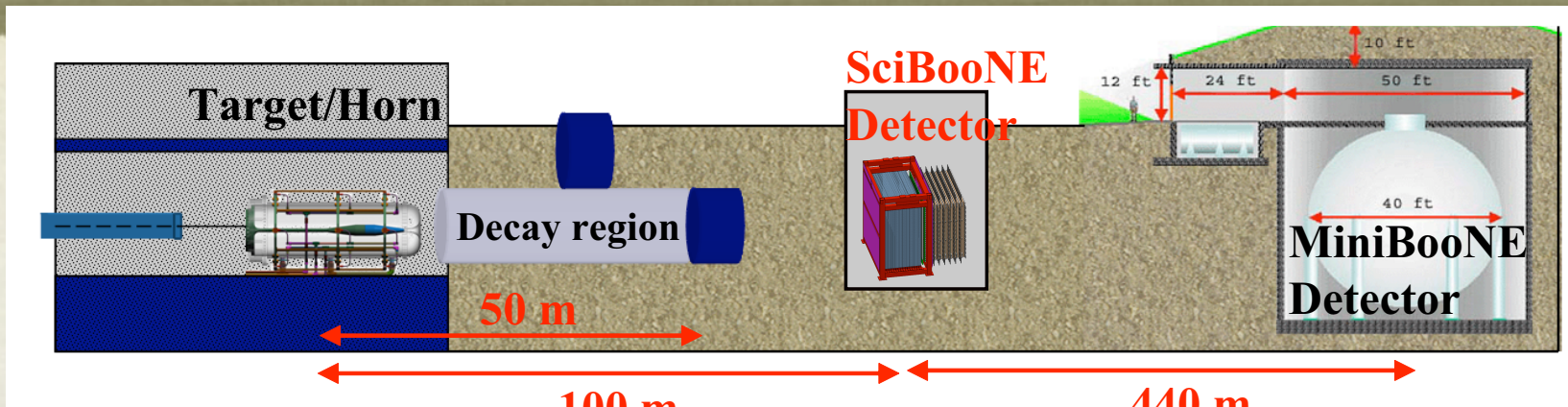
Experimental Setup

Sci-/Mini-BooNE Sites

Fermilab



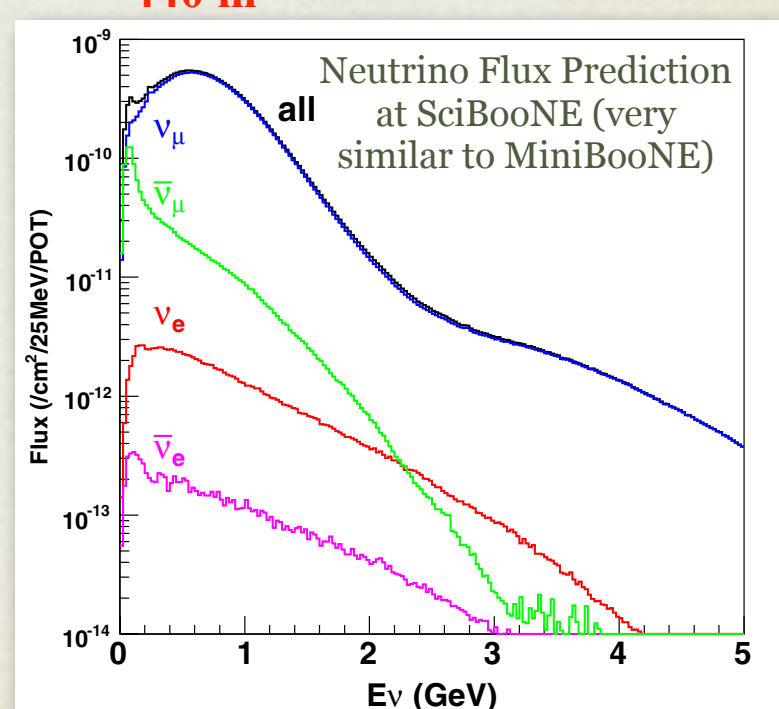
Fermilab Booster Neutrino Beamline



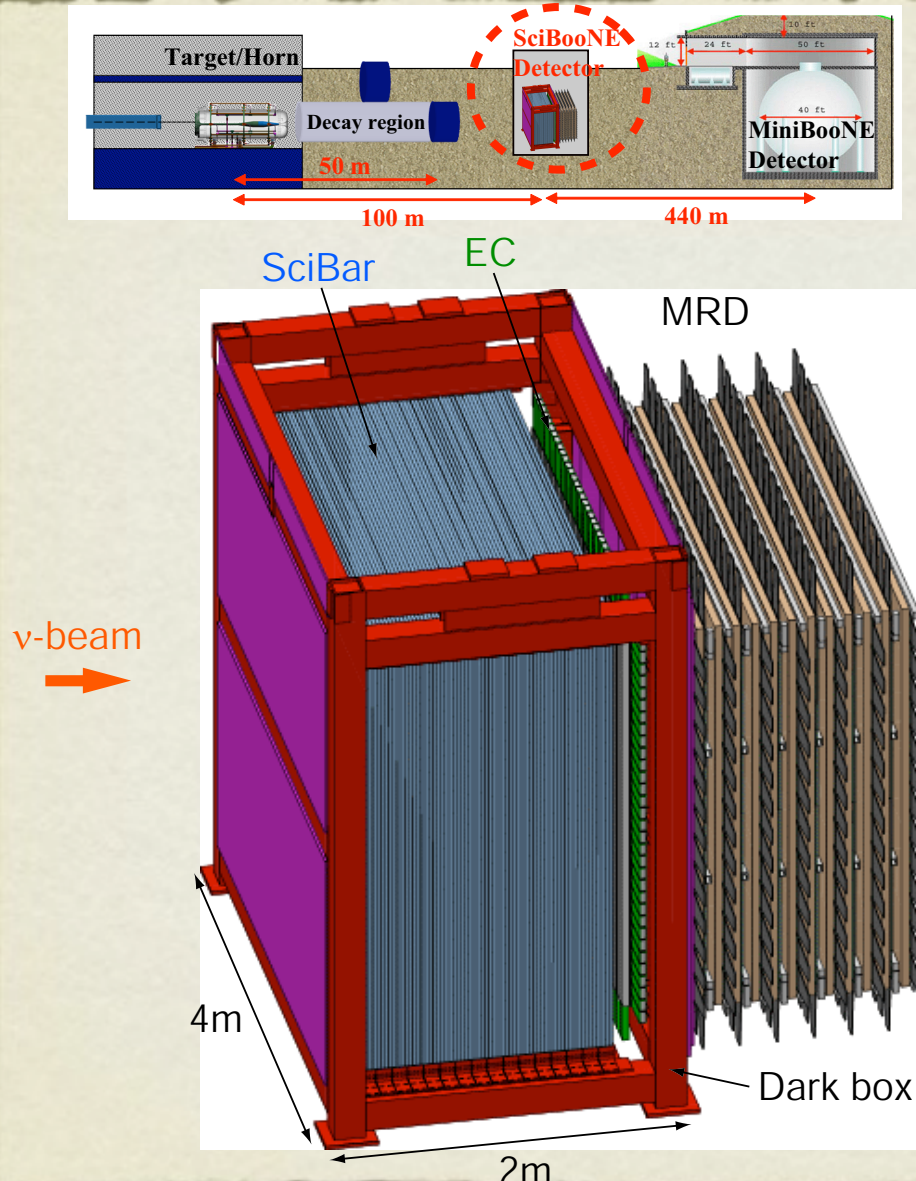
- High intensity Neutrino and Anti-Neutrino beam
 - $E_\nu \sim 1 \text{ GeV}$
- Neutrino Fluxes are measured at 2 detectors: SciBooNE and MiniBooNE
 - $L \sim 500\text{m}$

Sensitive to Oscillations at $\Delta m^2 \sim 1\text{eV}^2$

$$P(\nu_\alpha \rightarrow \nu_\beta) = \sin^2 2\theta \sin^2 \left(\frac{1.27 \Delta m^2 [\text{eV}^2] L [\text{km}]}{E [\text{GeV}]} \right)$$



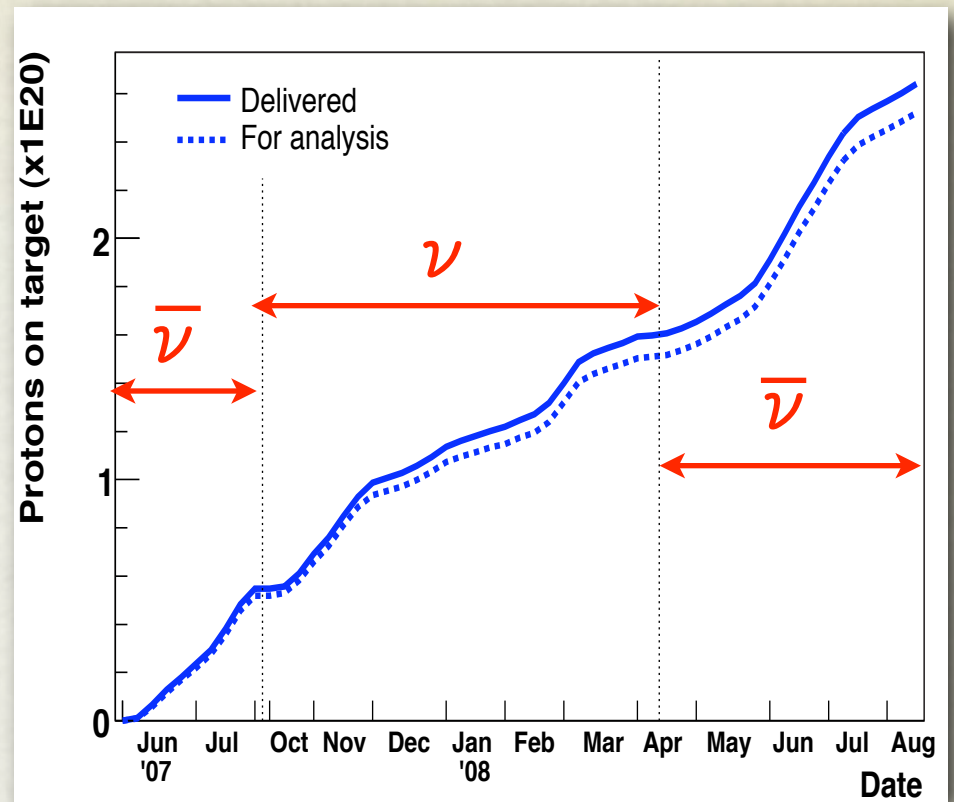
SciBooNE Detector



- SciBar:
 - Full active scintillator tracker (~14000 strips)
- Neutrino Target
 - Fiducial volume: ~10 tons
 - Main component: CH
- Electron Catcher (EC)
 - “Spaghetti” type calorimeter
- Muon Range Detector (MRD)
 - Steel and scintillator sandwich
 - Measure muon momentum from its range

SciBooNE Data Taking

- Started beam data taking on July 2007
- Data taking completed in August 2008
- Stable data taking
- Total 2.52×10^{20} POT for analysis (95% of delivered)
 - Neutrino: 0.99×10^{20} POT
 - Anti-Neutrino: 1.53×10^{20} POT

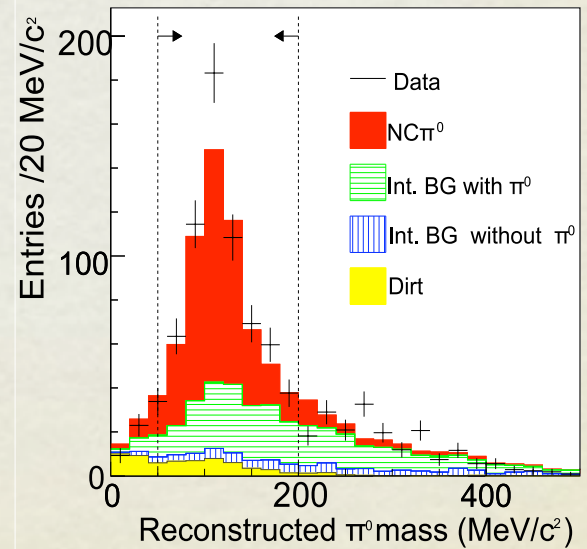
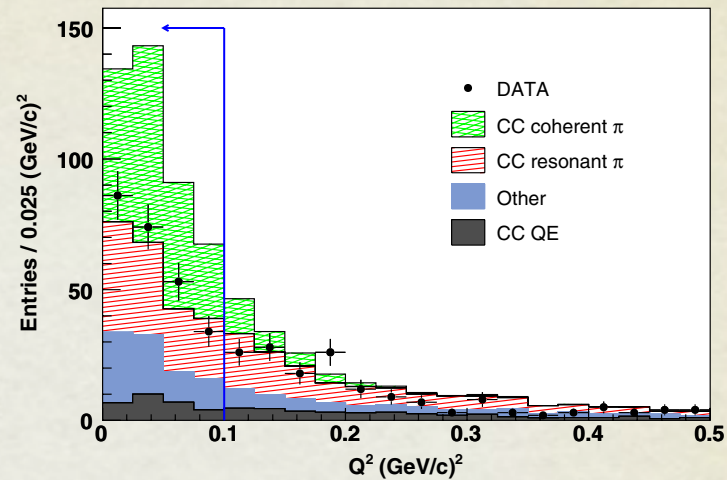


今日は主にニュートリノモード
の解析について話します。

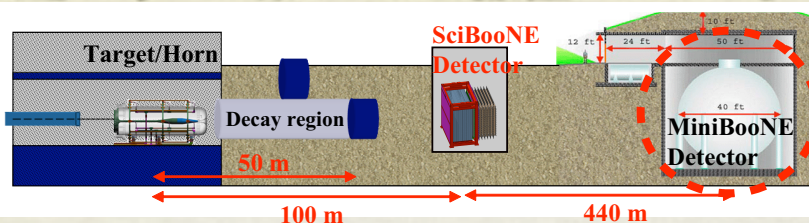
SciBooNE Cross-Section Results



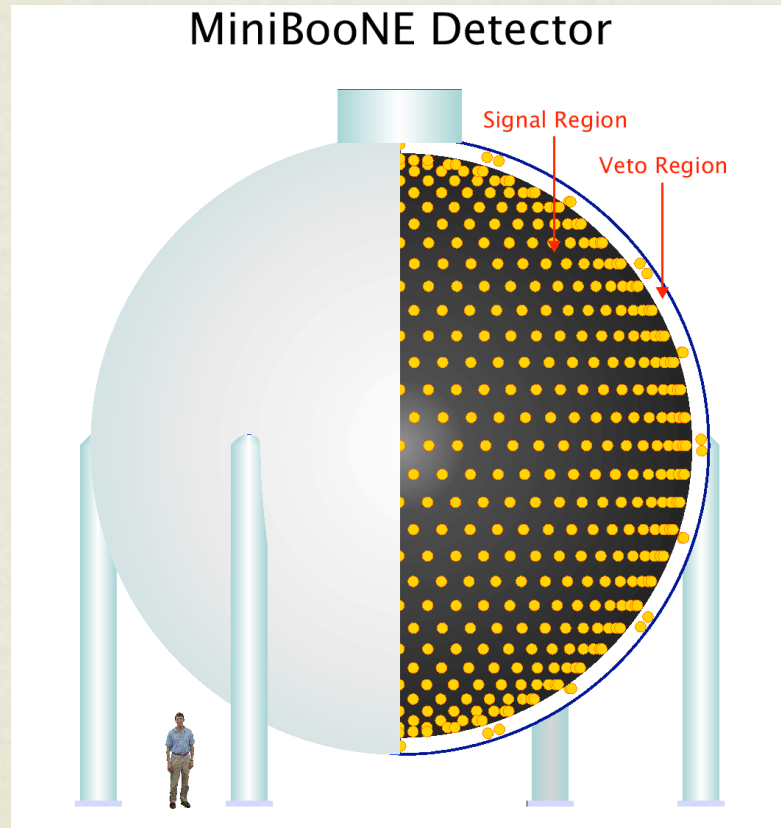
- SciBooNE実験の（もう一つの）主目的は、将来のニュートリノ振動実験のための、反応断面積精密測定。
- 荷電カレントコヒーレントπ生成反応
 - この反応が理論予想に比べて有意に少ないことを発見
 - Phys. Rev. D78, 112004 (2008)
- 中性カレント π^0 生成反応
 - Phys. Rev. D81, 033004 (2010)



MiniBooNE Detector

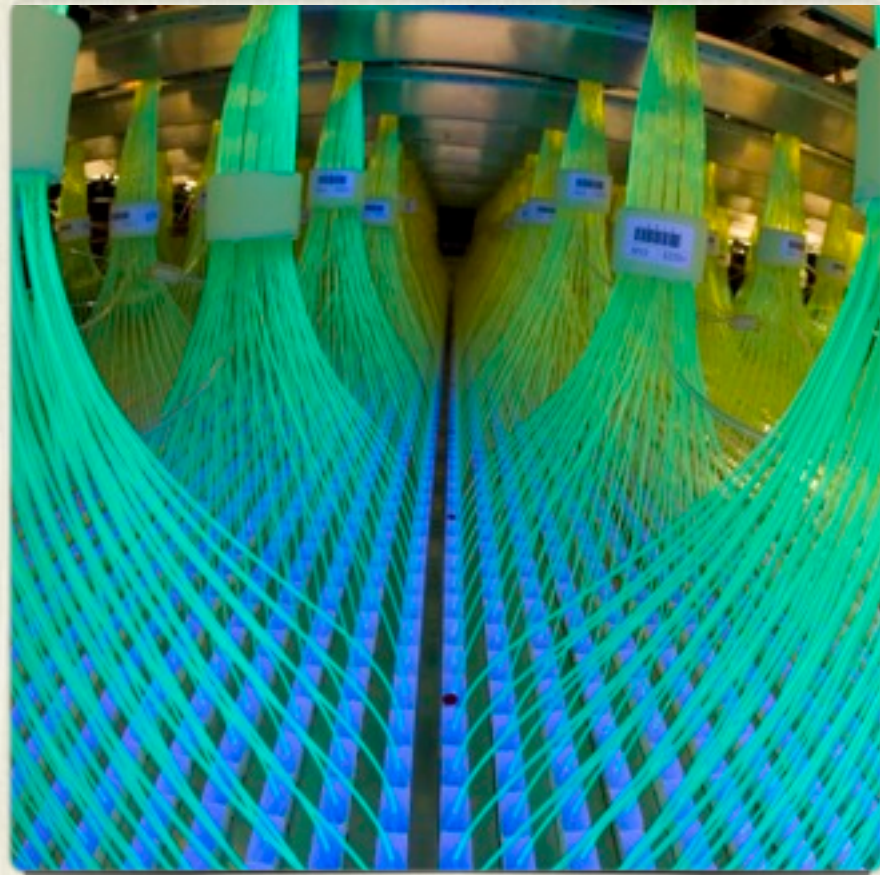


MiniBooNE Detector

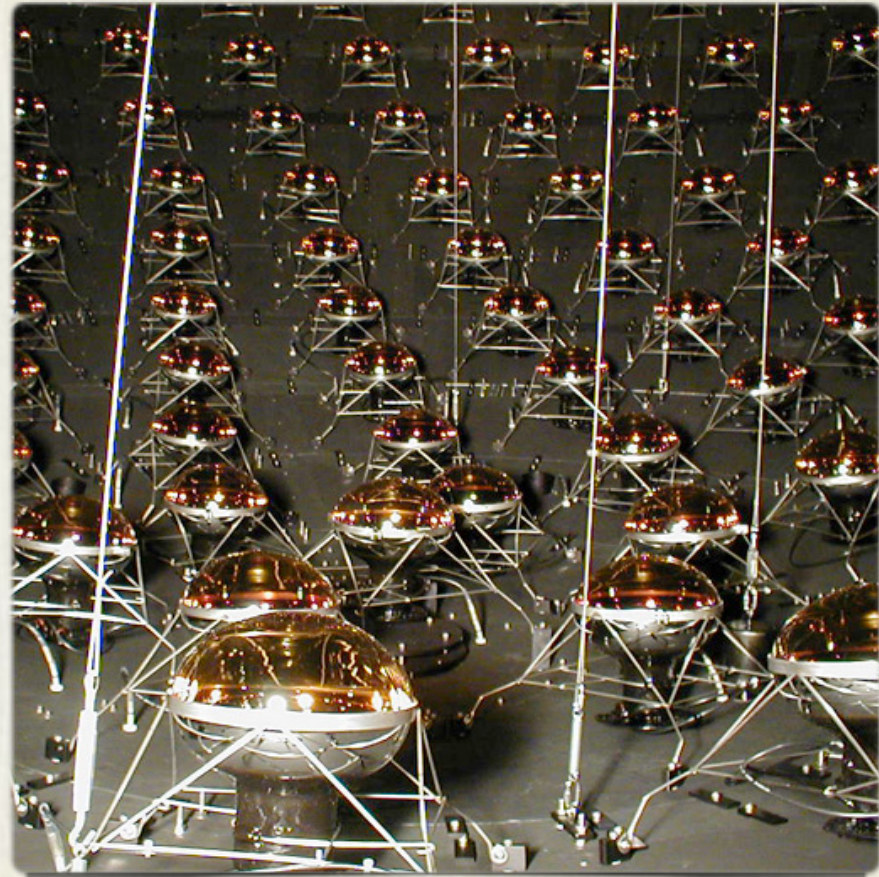


- Mineral oil Cherenkov detector
 - Select ν_μ by single muon and its decay-electron signal.
 - Total mass: $\sim 1\text{k ton}$
 - Main component: CH_2
 - Taking beam data since 2002
 - $5.58 \times 10^{20} \text{ POT}$ (neutrino mode) + SB-MB overlap
- 2 detectors share the beam and the target material (both carbon)

Most of the systematic error cancels



SciBar detector at SciBooNE

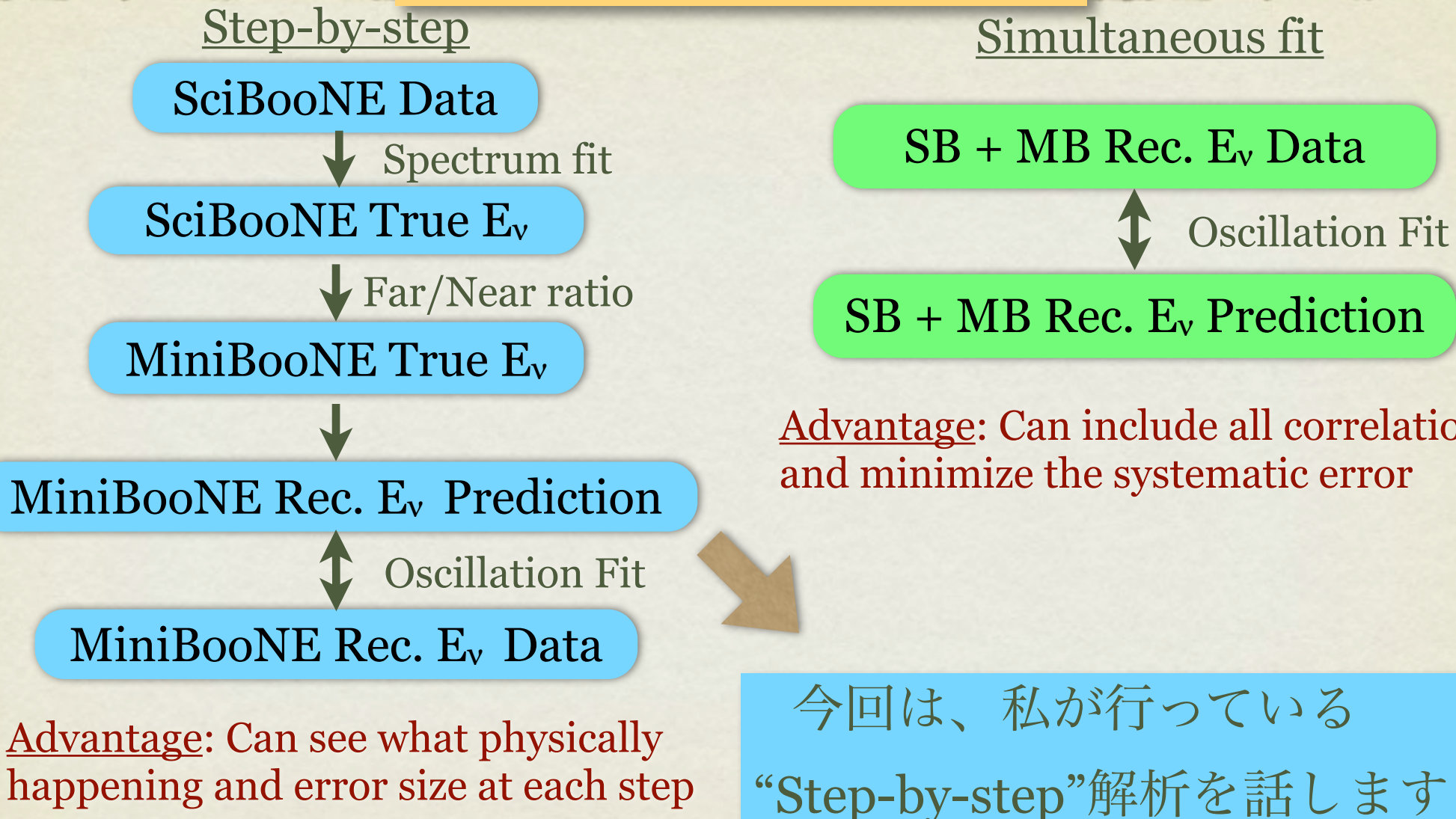


MiniBooNE Detector

Oscillation Analysis

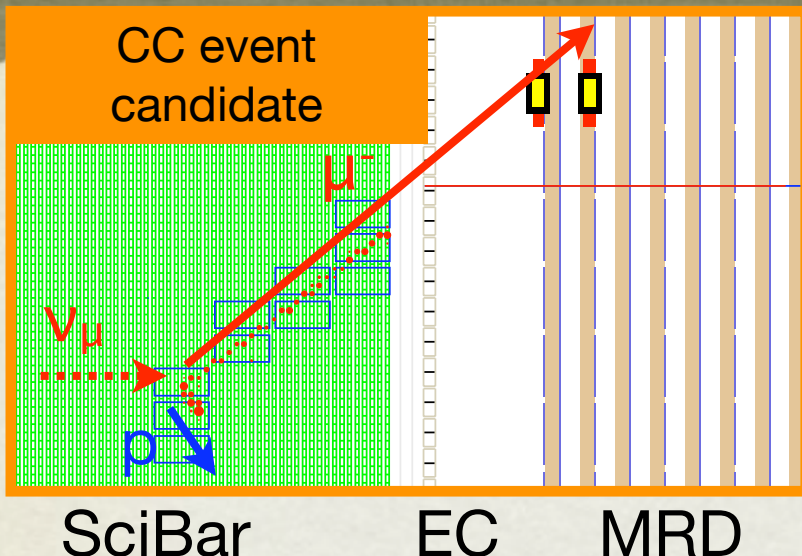
Analysis Overview

2 Independent Analyses



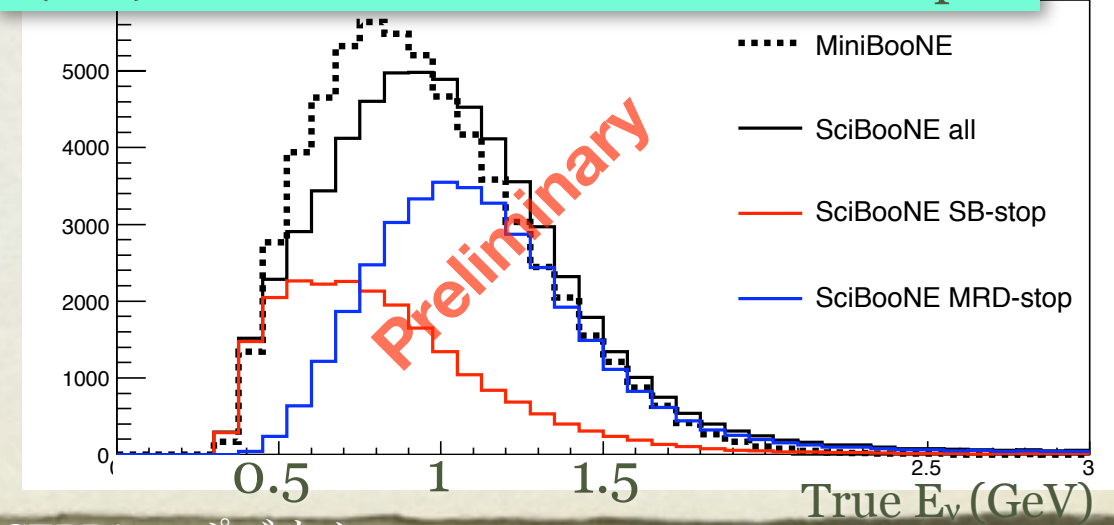
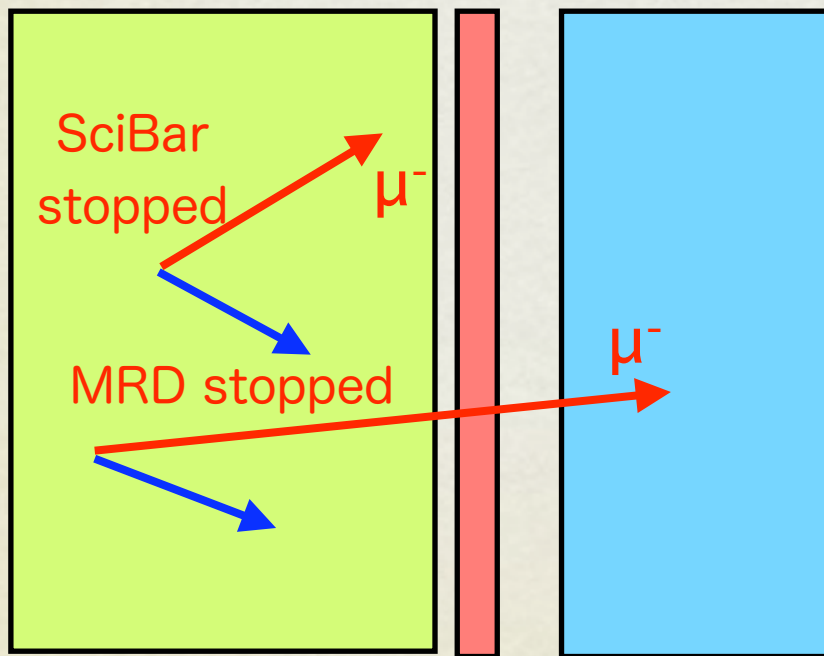
今日は、私が行っている
“Step-by-step”解析を話します

SciBooNE ν_μ Selection



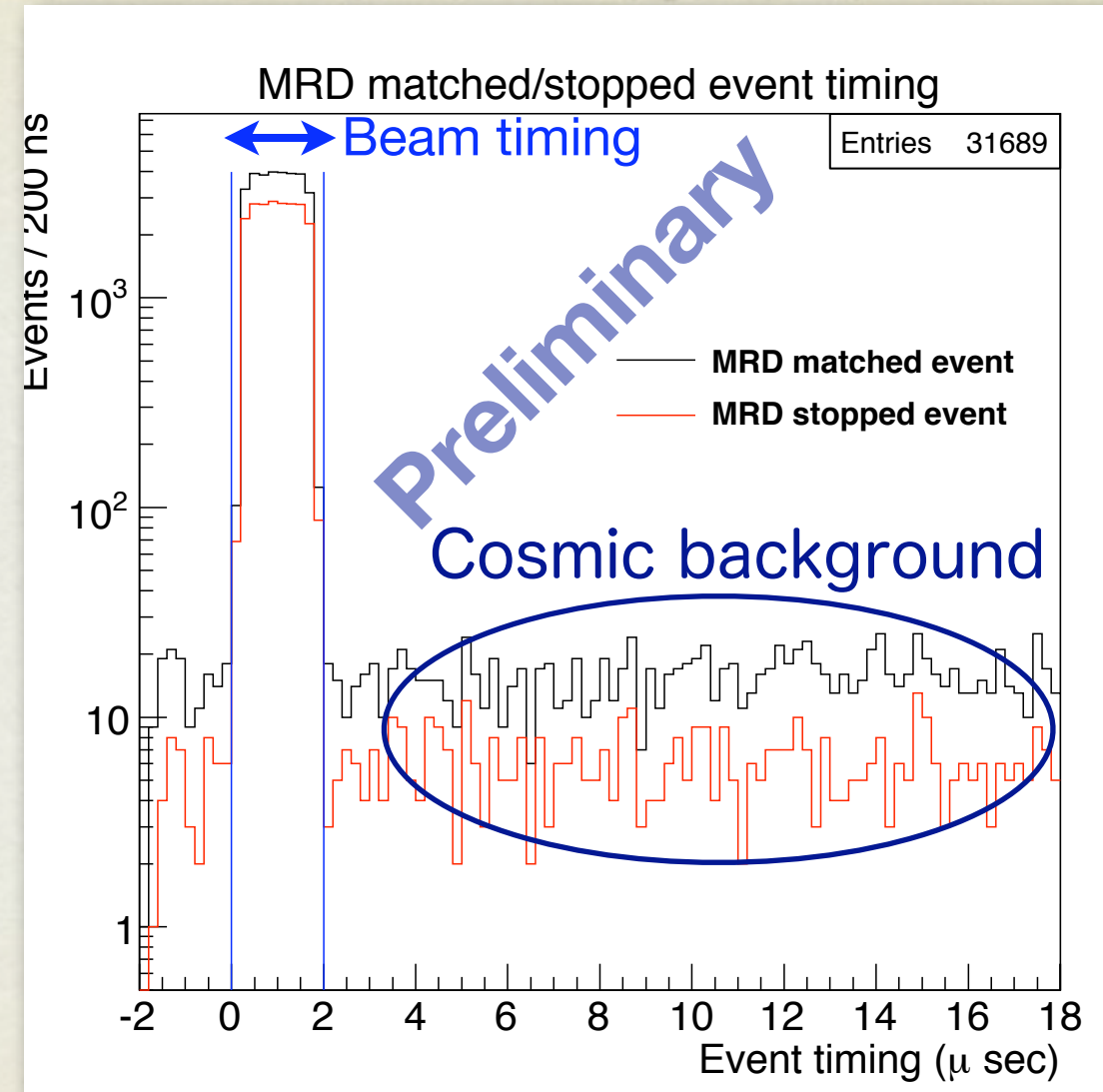
- Select events with muon track (Charged current inclusive sample)
- Muon selection
 - Muon-like energy deposit in SciBar
 - Require tracks stopped in the detectors
 - Require momentum > 0.25 GeV

(MC) True Ev distribution of each sample



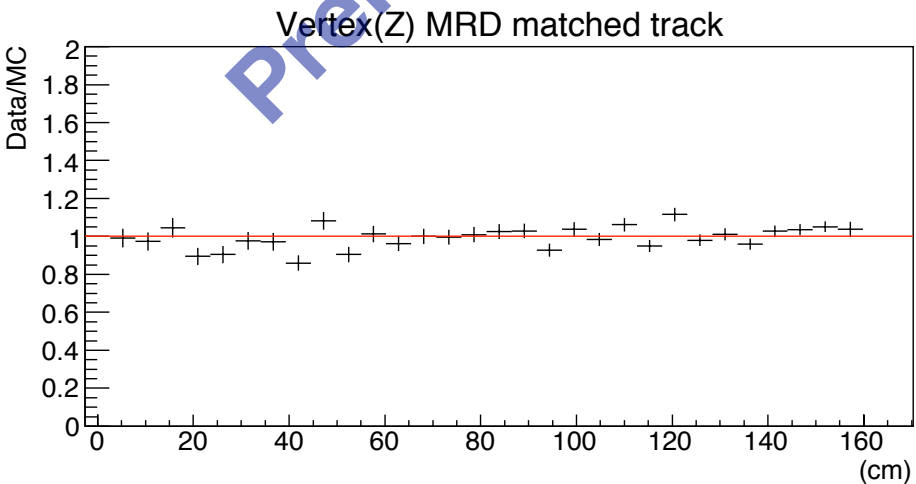
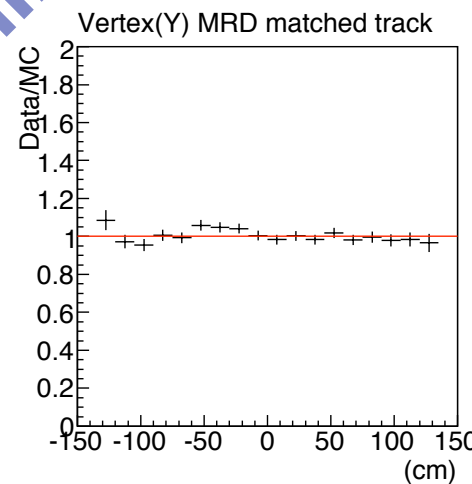
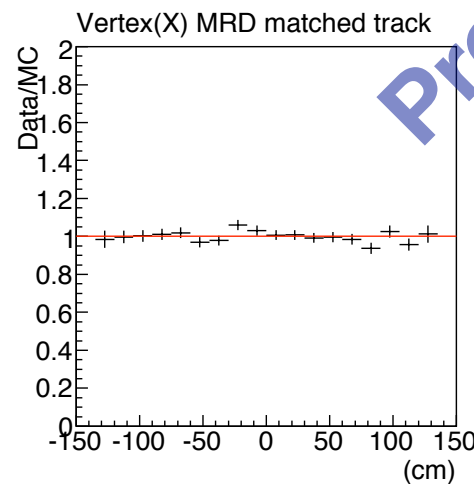
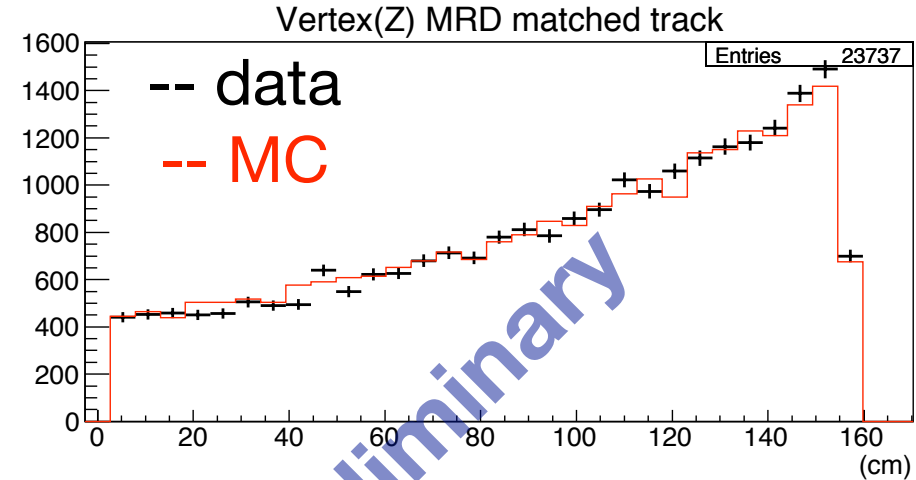
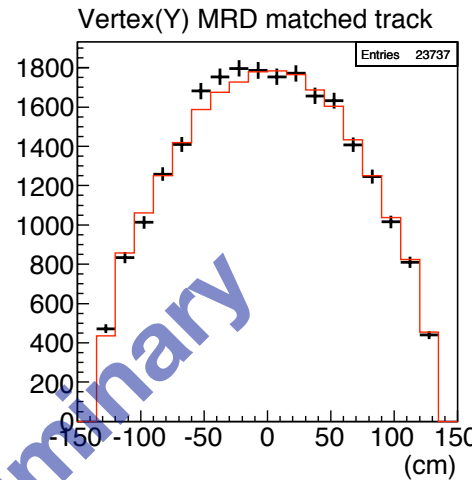
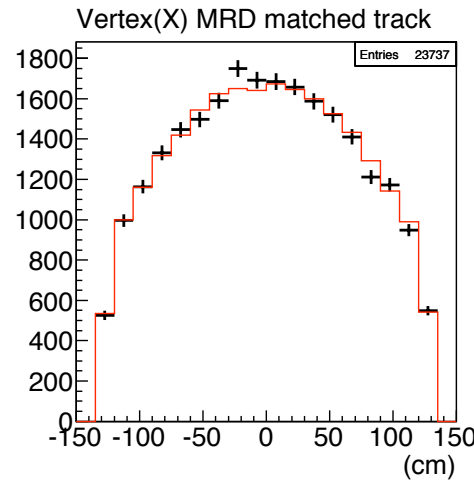
Event Selection (Timing)

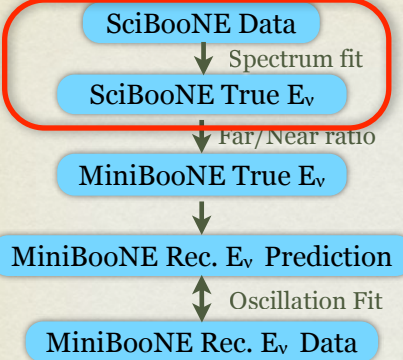
- 2 μ sec beam timing window.
 - Less than 0.5% cosmic background contamination.
- $\sim 14K$ SciBar-stopped events.
- $\sim 20K$ MRD-stopped events.



Reconstructed Interaction Vertices

MRD matched muon (relatively normalized)

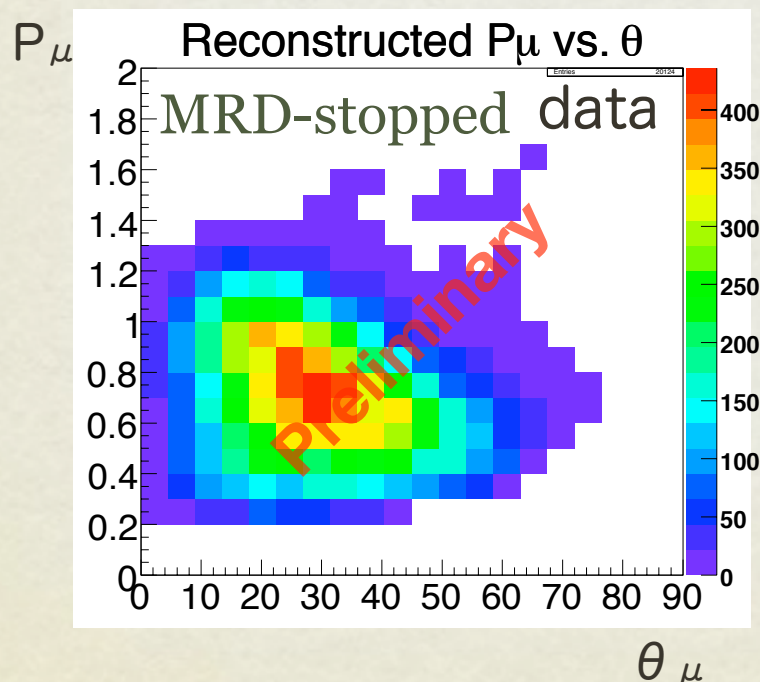




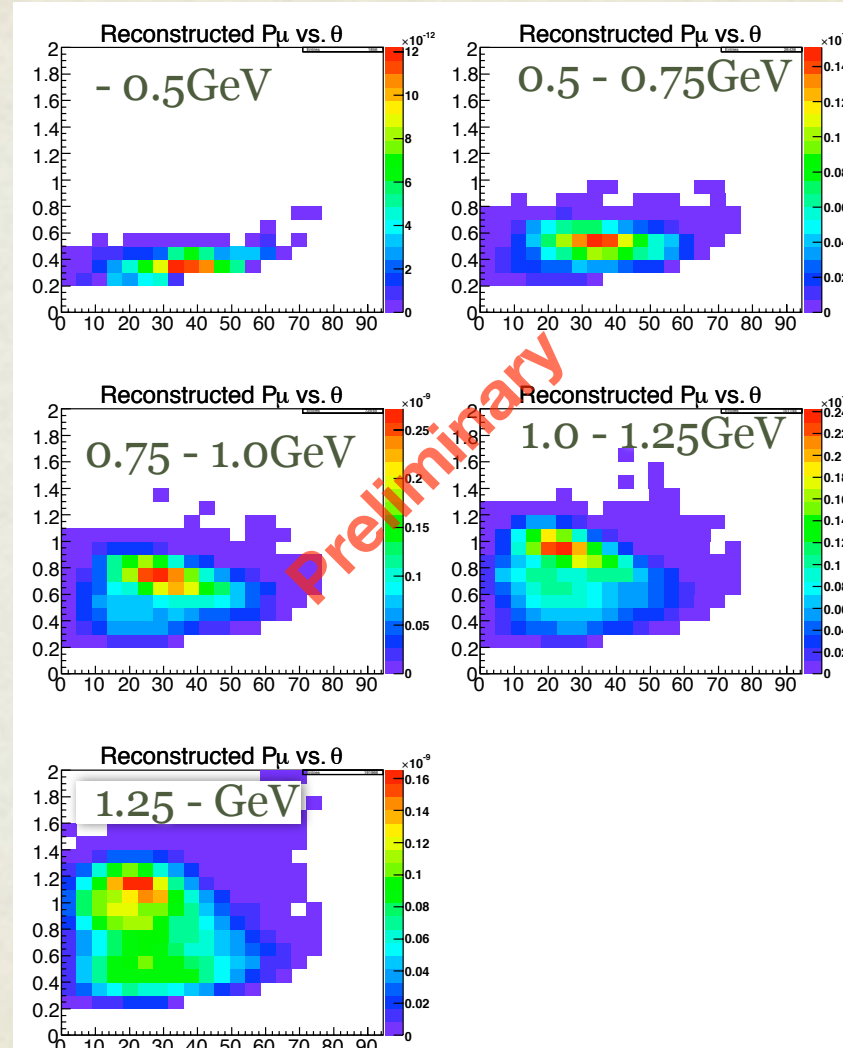
SciBooNE Spectrum Fitting (1)

P_μ : Muon momentum reconstructed by its path-length
 θ_μ : Muon angle w.r.t. beam axis

- Fit P_μ vs. θ_μ distributions.
- Determine MC scale factor for each true E_v bins.



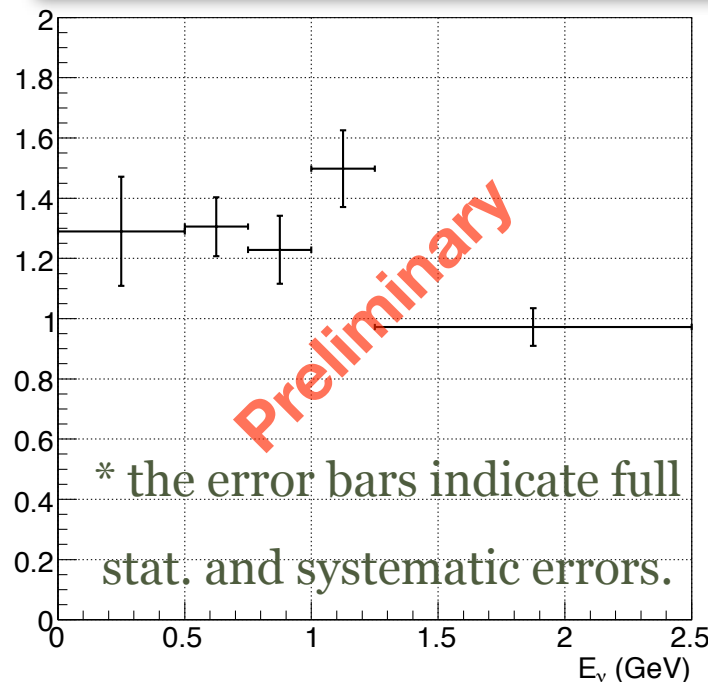
MC Templates (MRD-stopped)





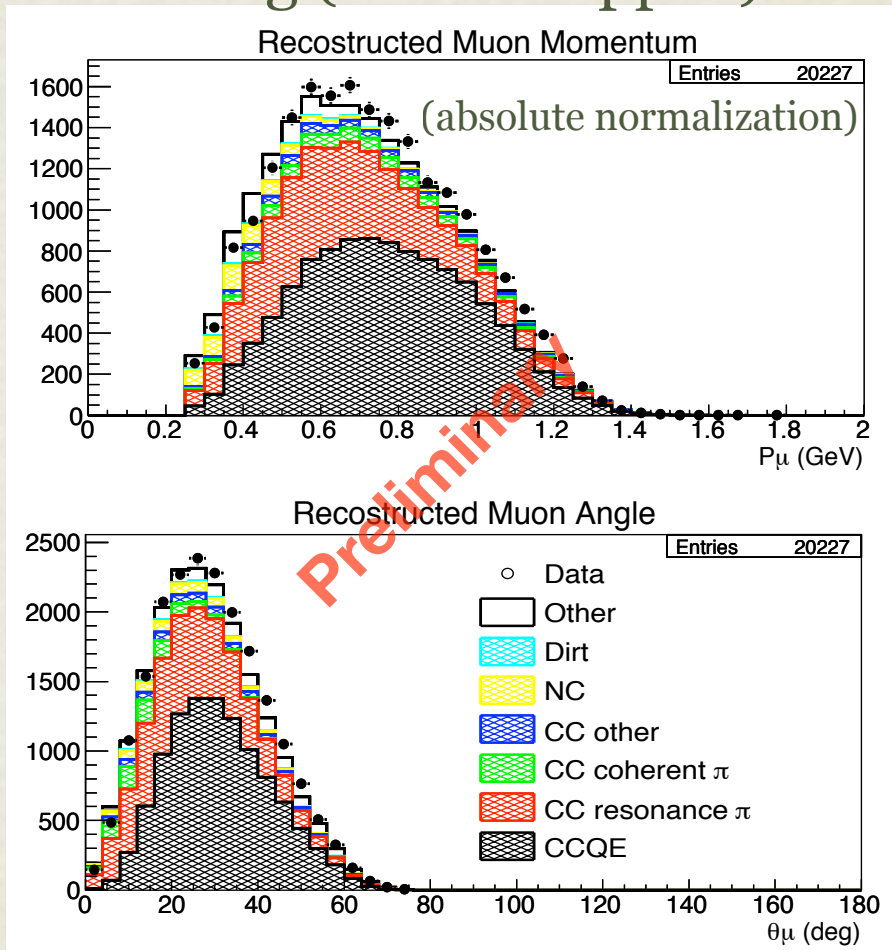
- 得られた E_v scale factor を MC に適用

(Absolute) E_v scale factor obtained by fitting



SciBooNE Spectrum Fitting (2)

P_μ and θ_μ distribution after fitting (MRD-stopped)

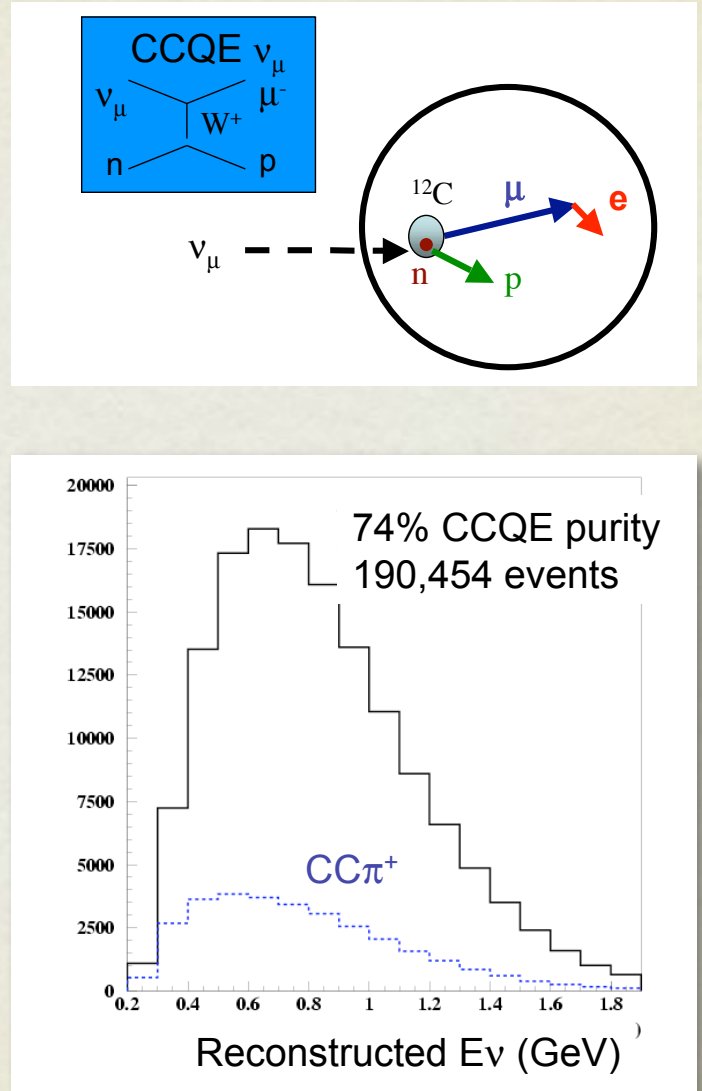


Good data and MC agreement

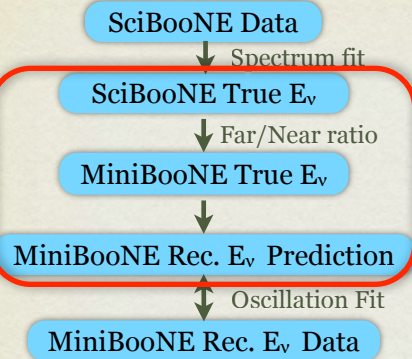
MiniBooNE Reconstruction

- 崩壊電子により μ を選択
- 荷電カレント準弾性散乱(CCQE)を仮定し、 μ の運動量、角度からニュートリノエネルギーを再構成

$$E_\nu = \frac{m_p^2 - (m_n - V)^2 - m_\mu^2 + 2(m_n - V)E_\mu}{2(m_n - V - E_\mu + p_\mu \cos\theta_\mu)}$$

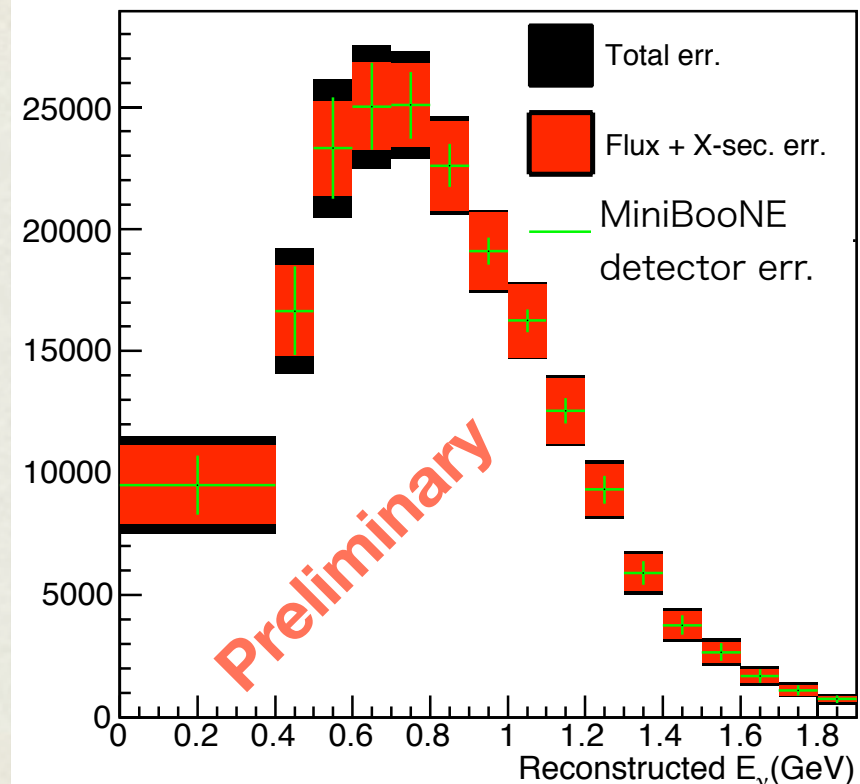


MiniBooNE Prediction

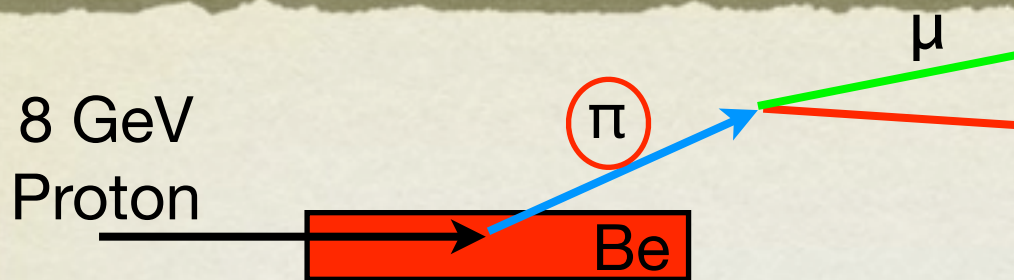


- Extrapolate measured spectrum from SciBooNE to MiniBooNE.
- Convert True $E_v \rightarrow$ Rec. E_v
- Systematic Errors
 - SciBooNE spectrum measurement uncertainty
 - Beam flux model
 - Cross-section model
 - MiniBooNE detector response

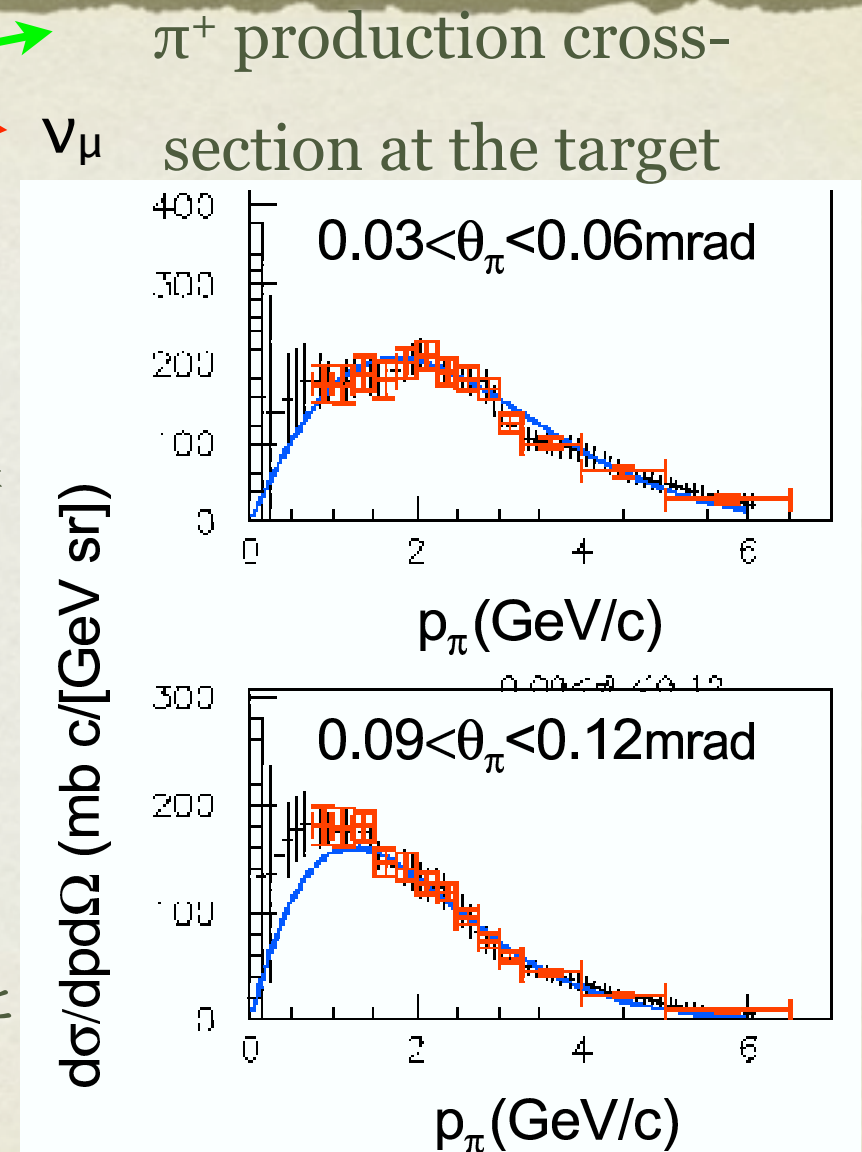
MiniBooNE reconstructed E_ν
and its error expectation



An Example of Flux Systematic Error



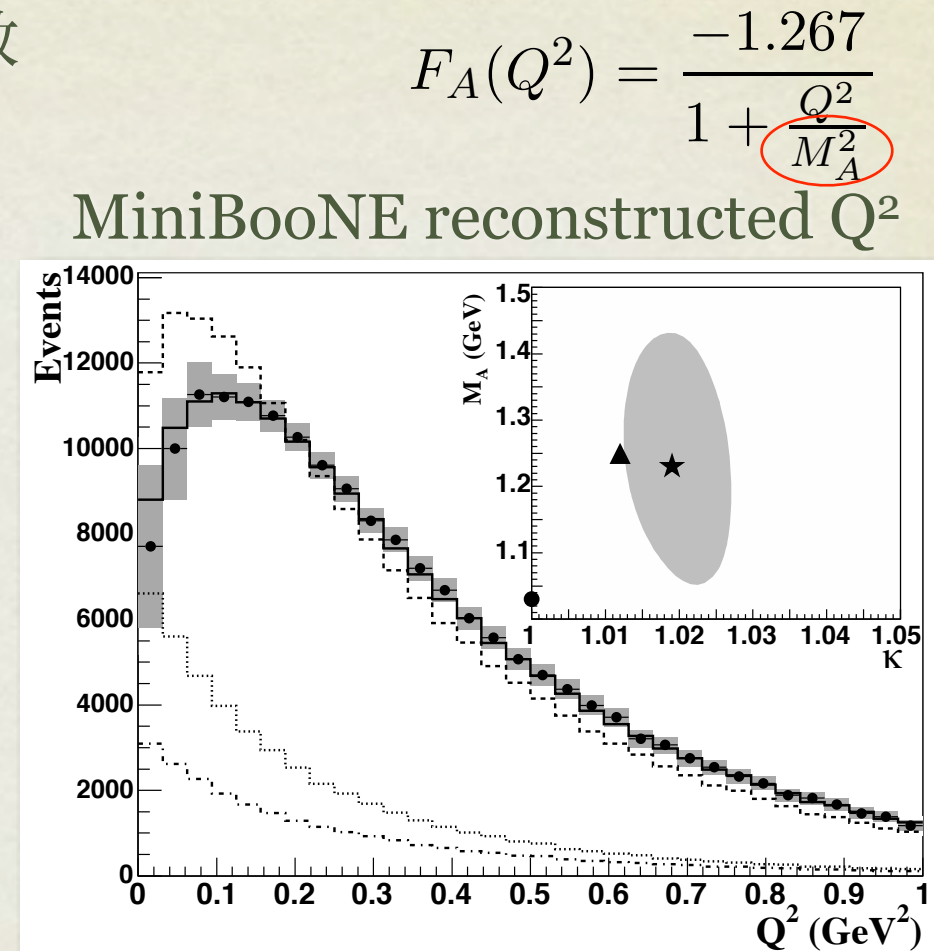
- フラックスの予想には、HARP実験で測定された、p-Beからのハドロン生成の断面積を使用。
- その測定誤差を系統誤差とする
- フラックスの絶対値のエラーは大きい (~10%)がSciBooNE/MiniBooNEで比をとると無視できる大きさになる (~1%)



An Example of Cross-section Errors



- MiniBooNEで荷電カレント準弾性散乱を測定
 - Axial form factor (F_A), Pauli-blocking を調整
 - その誤差を系統誤差に
- 最も大きなエラーの一つ (~5%程度)
- MiniBooNEとSciBooNEで角度アクセプタンスが大きく違うため
 - SciBooNE: 前方に集中
 - MiniBooNE: 等方的



ニュートリノ振動Fit

- 2-flavor間での振動を仮定し、 $\Delta m^2, \sin^2(2\theta)$ のパラメーター領域をスキャン

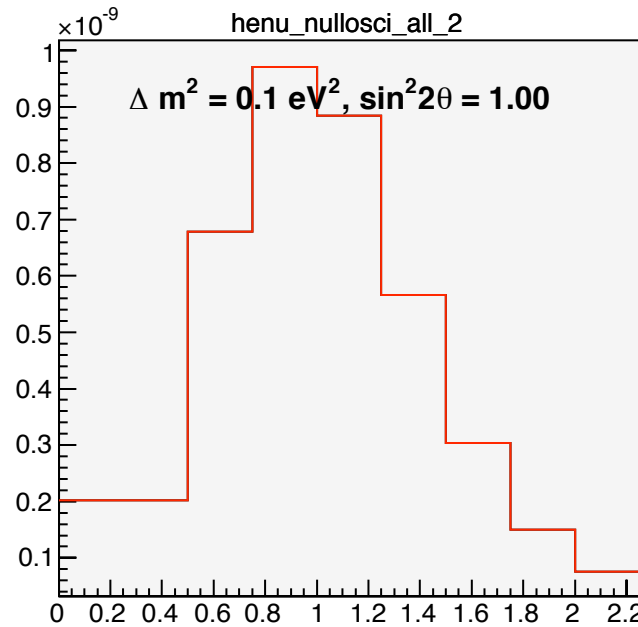
$$P(\nu_\alpha \rightarrow \nu_\beta) = \sin^2 2\theta \sin^2 \left(\frac{1.27 \Delta m^2 [\text{eV}^2] L [\text{km}]}{E [\text{GeV}]} \right)$$

- $\Delta\chi^2 = \chi^2 (\text{each point}) - \chi^2(\text{best})$ を用いて各パラメーターでの振動の可能性を評価する。

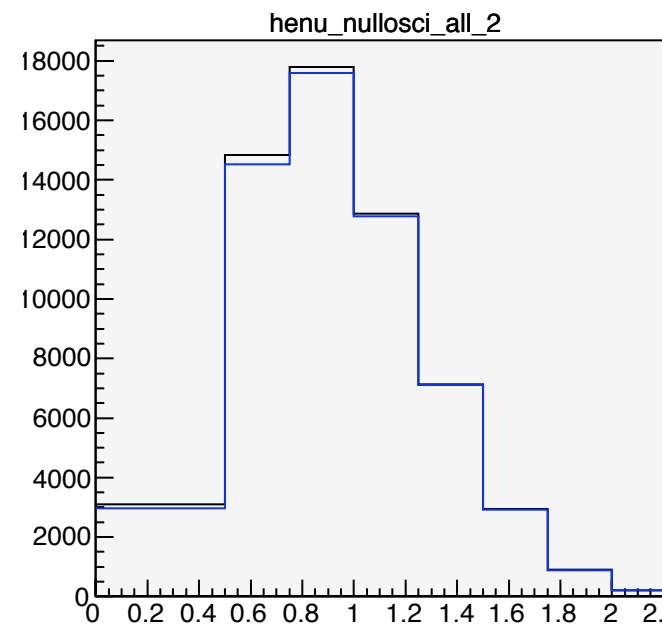
$$\chi^2 = \sum_{i,j}^{16 \text{ bins}} (N_i^{data} - N_i^p) M_{ij}^{-1} (N_j^{data} - N_j^p),$$

- 信頼度と $\Delta\chi^2$ の値の関係は、MCを用いて決定
(Feldman-Cousins method)

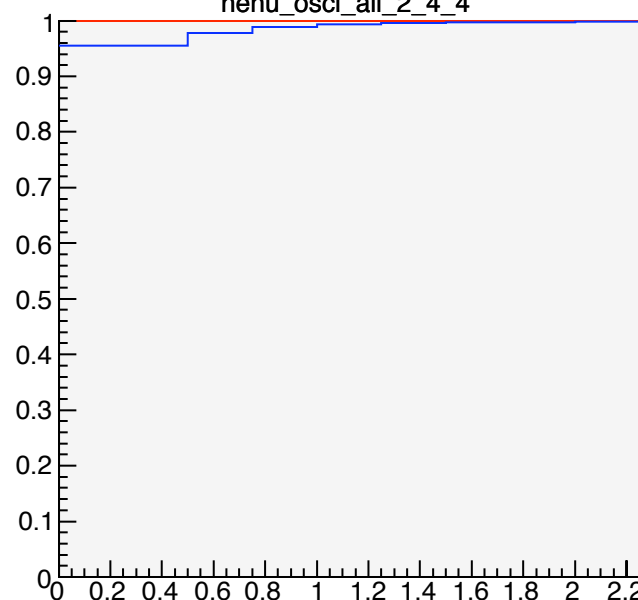
SB Enu



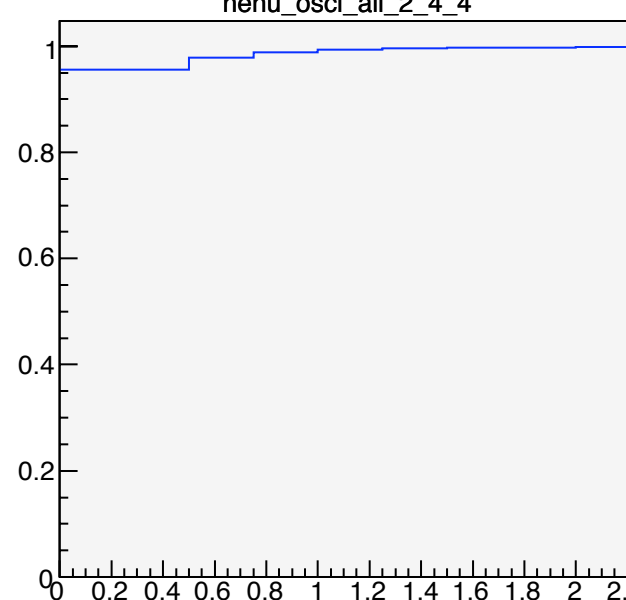
MB Enu



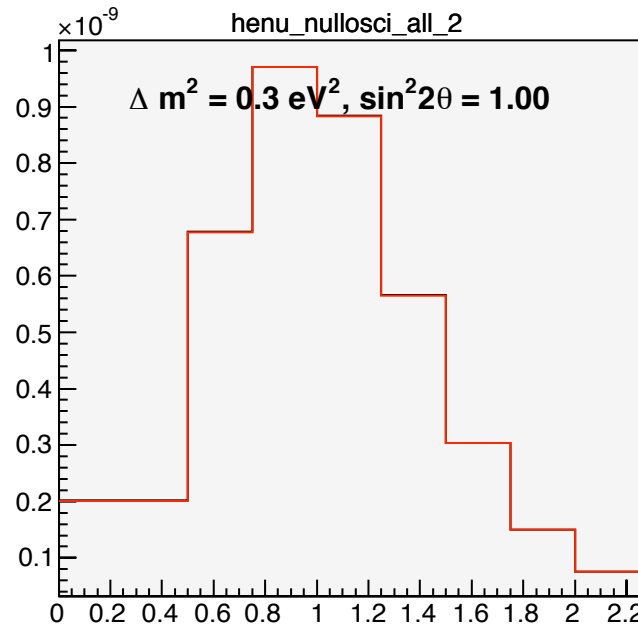
P(SB) and P(MB)



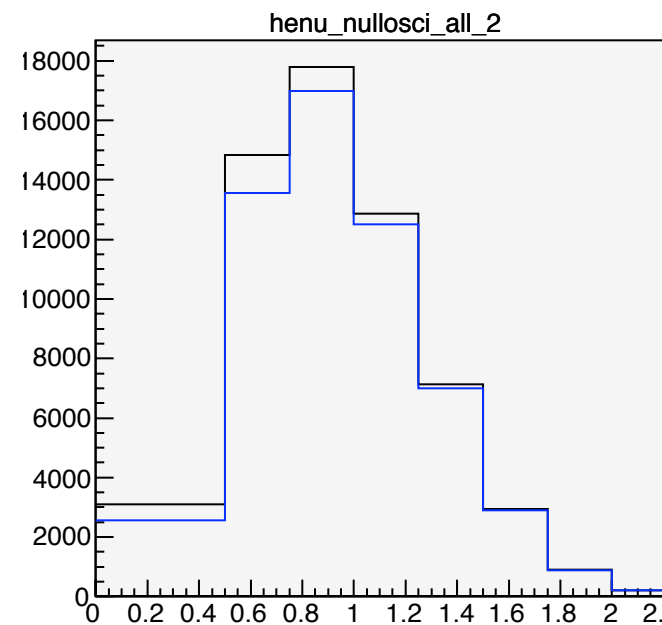
P(MB)/P(SB)



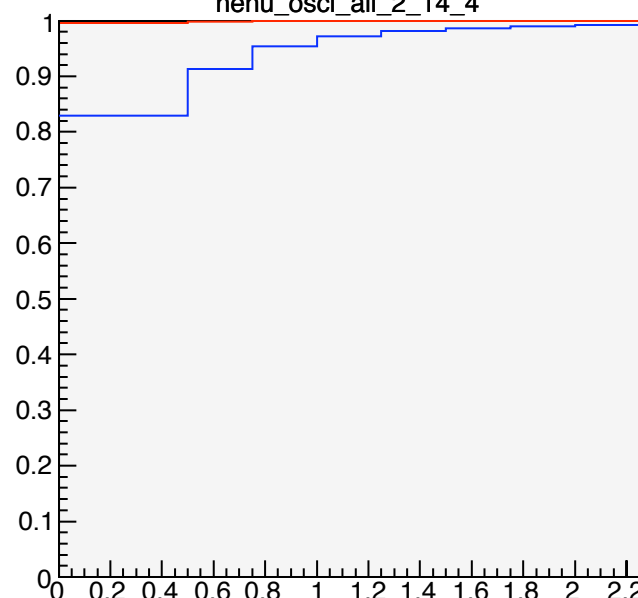
SB Enu



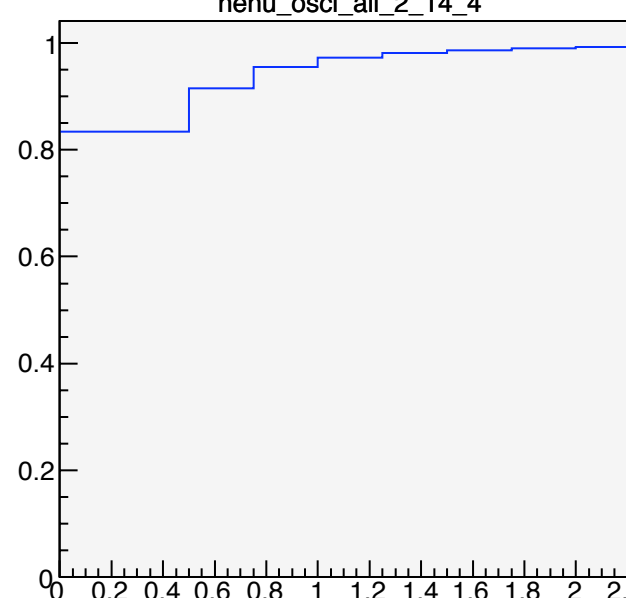
MB Enu



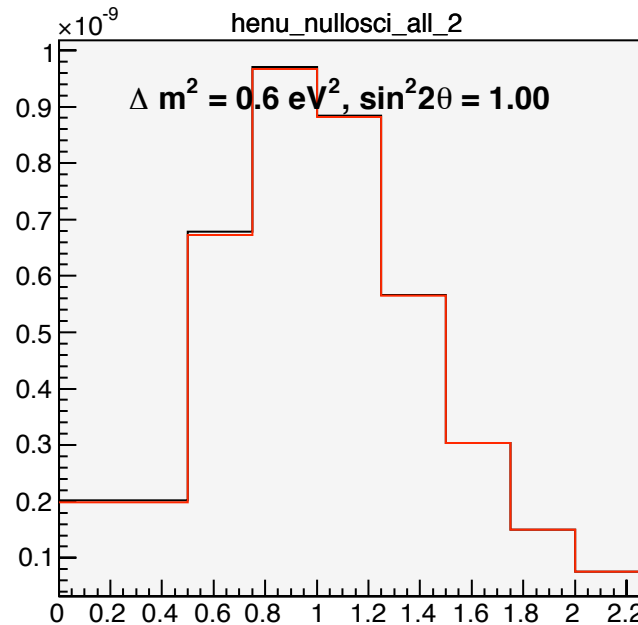
P(SB) and P(MB)



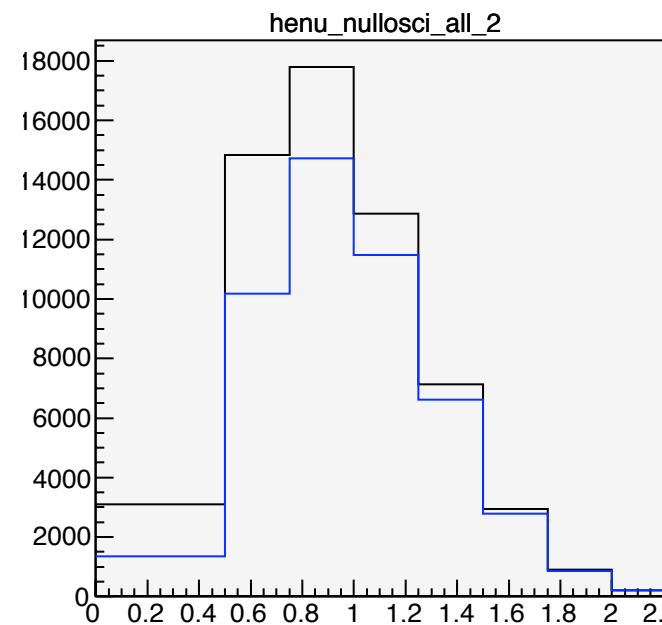
P(MB)/P(SB)



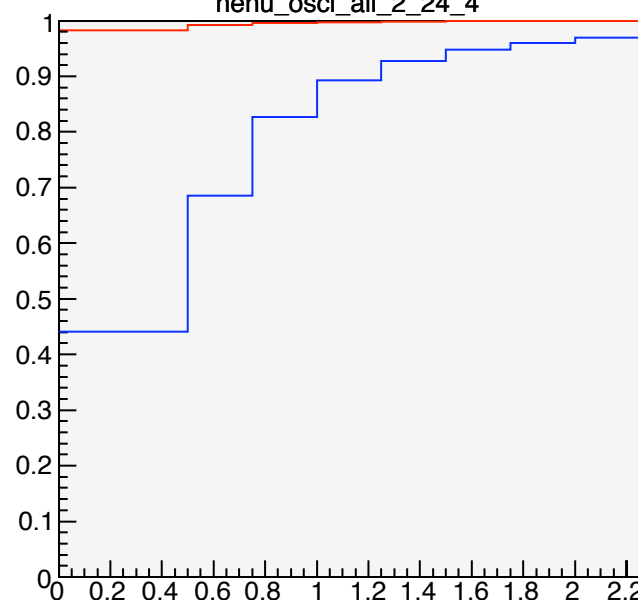
SB Enu



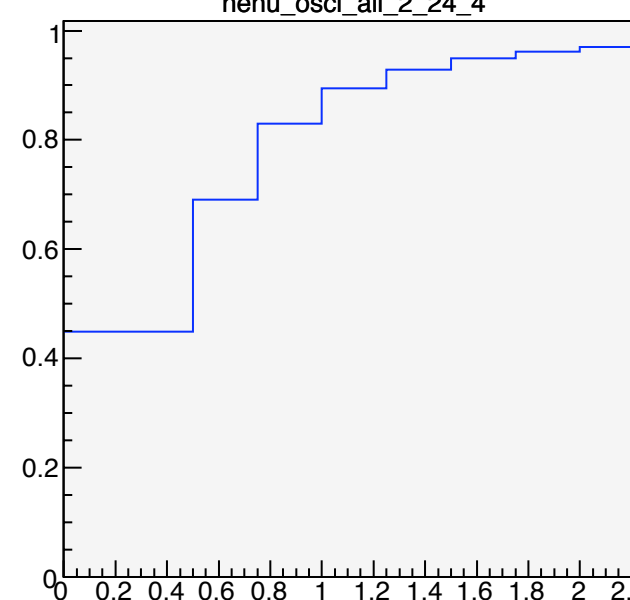
MB Enu



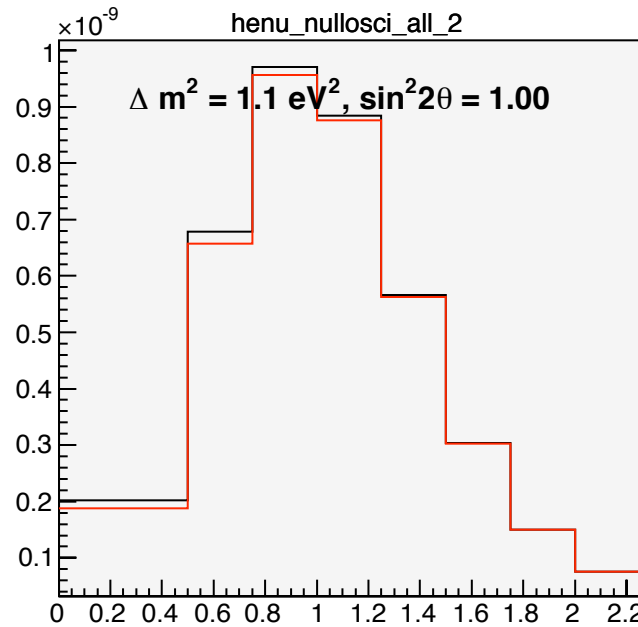
P(SB) and P(MB)



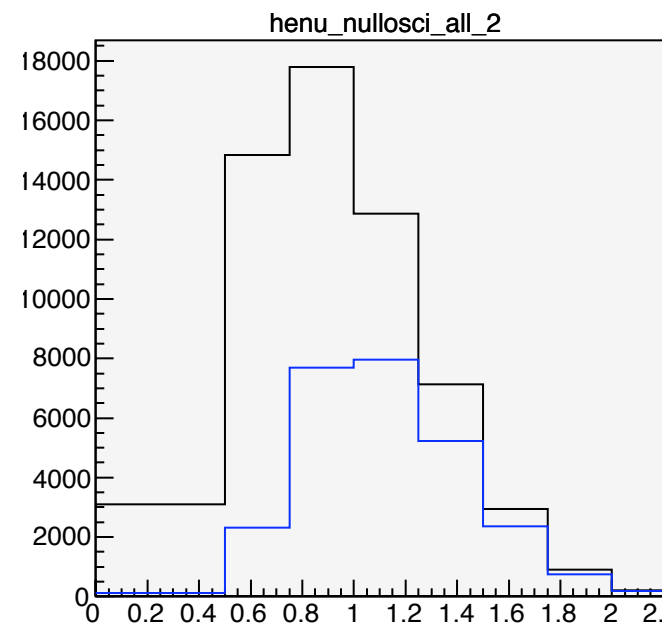
P(MB)/P(SB)



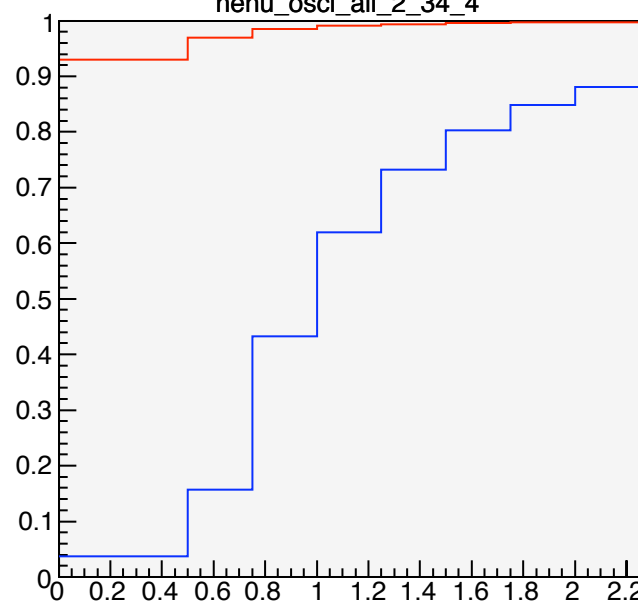
SB Enu



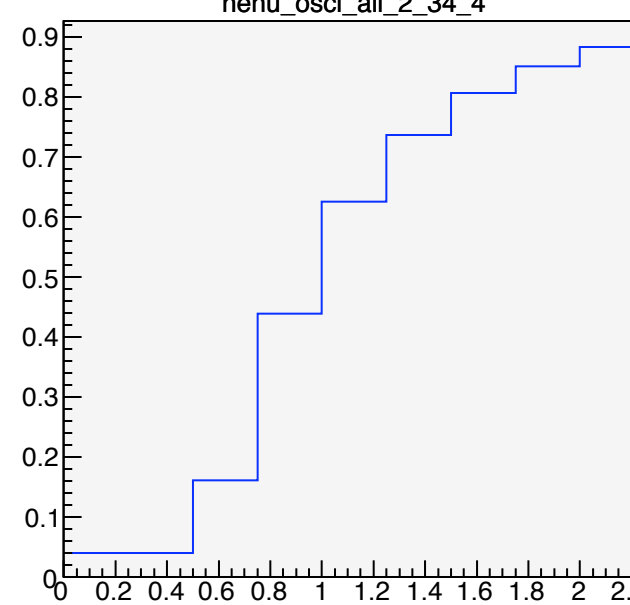
MB Enu



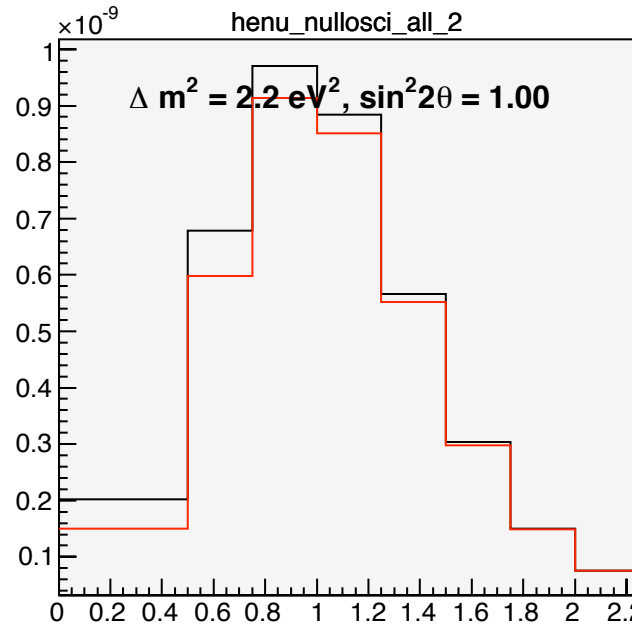
P(SB) and P(MB)



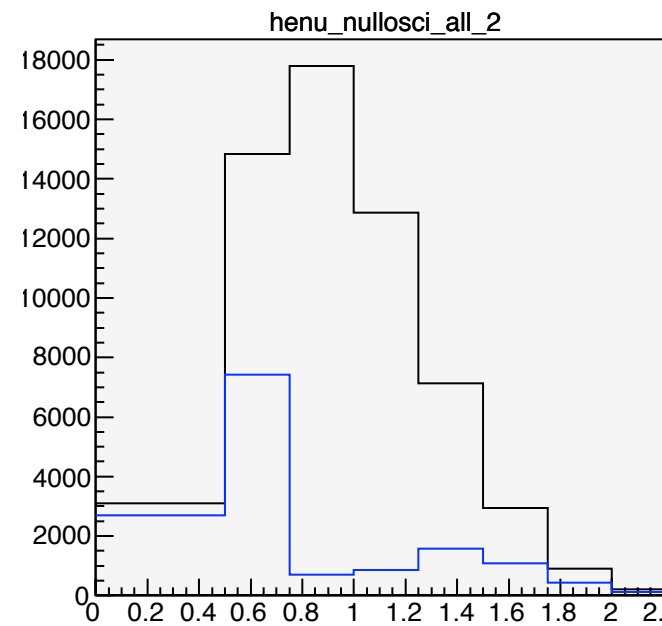
P(MB)/P(SB)



SB Enu

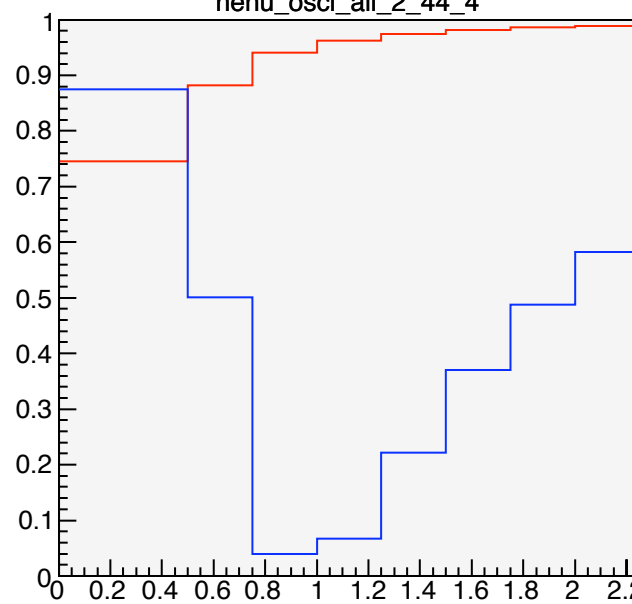


MB Enu

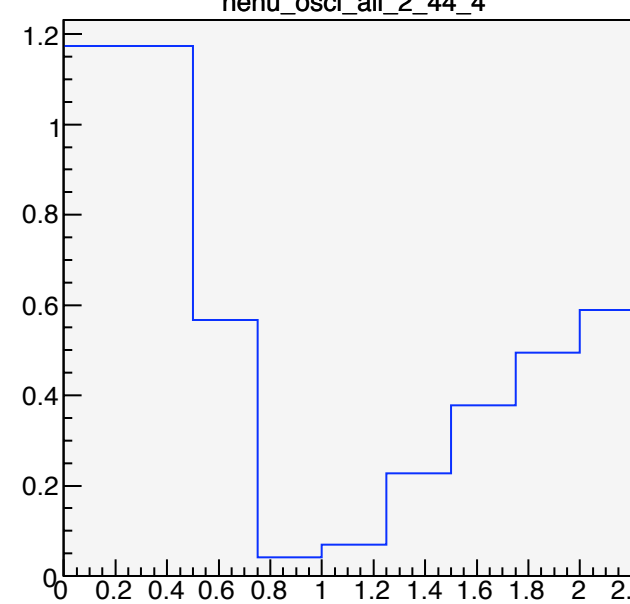


- Oscillation maximum at MiniBooNE detector at $\sim 2 \text{ eV}^2$

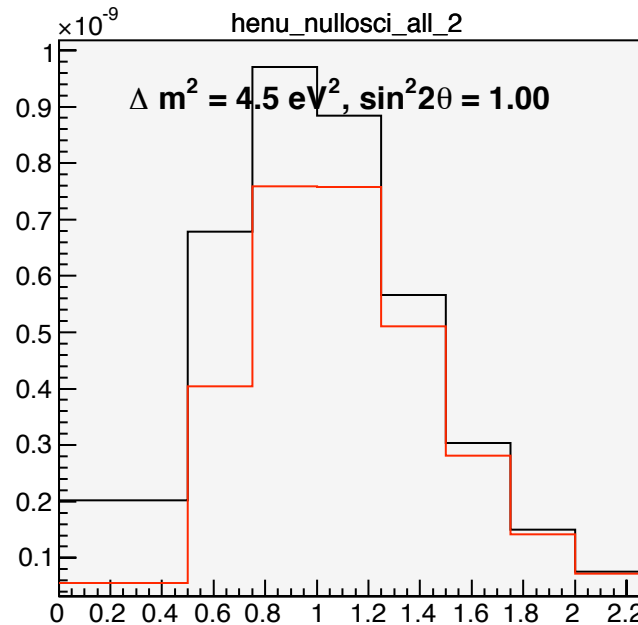
P(SB) and P(MB)



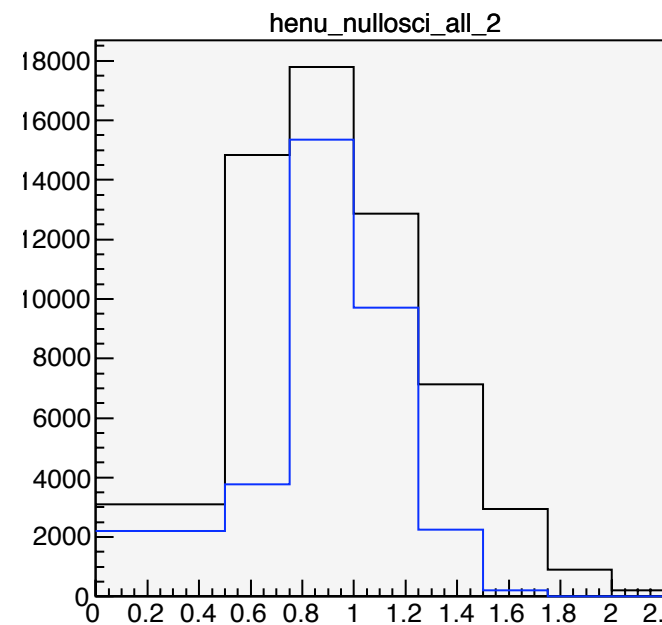
P(MB)/P(SB)



SB Enu

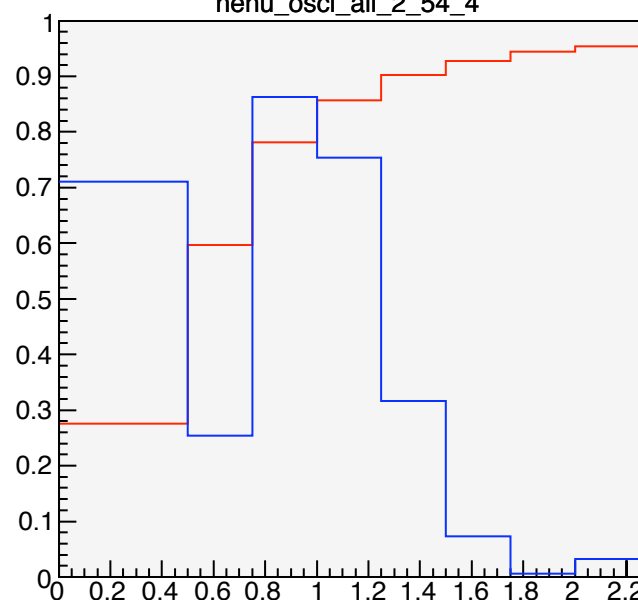


MB Enu

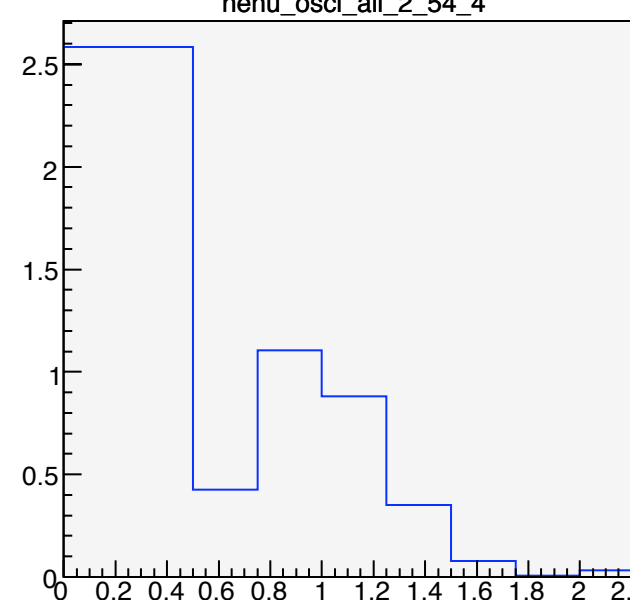


- Oscillation maximum at MiniBooNE detector at $\sim 2 \text{ eV}^2$

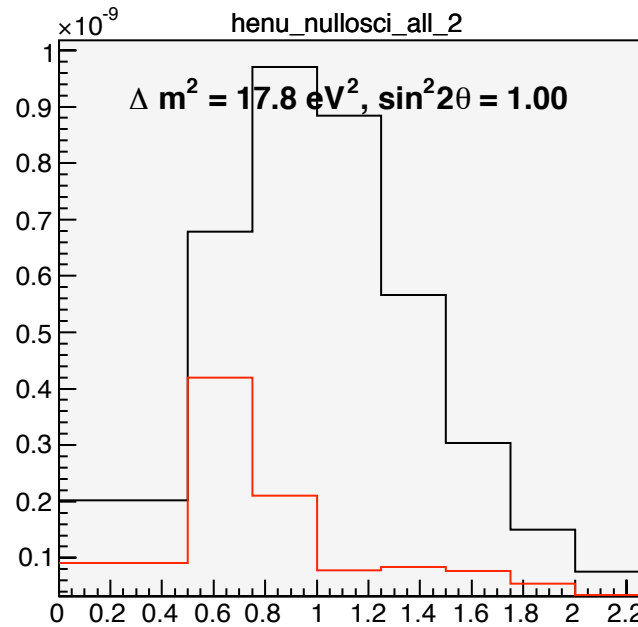
P(SB) and P(MB)



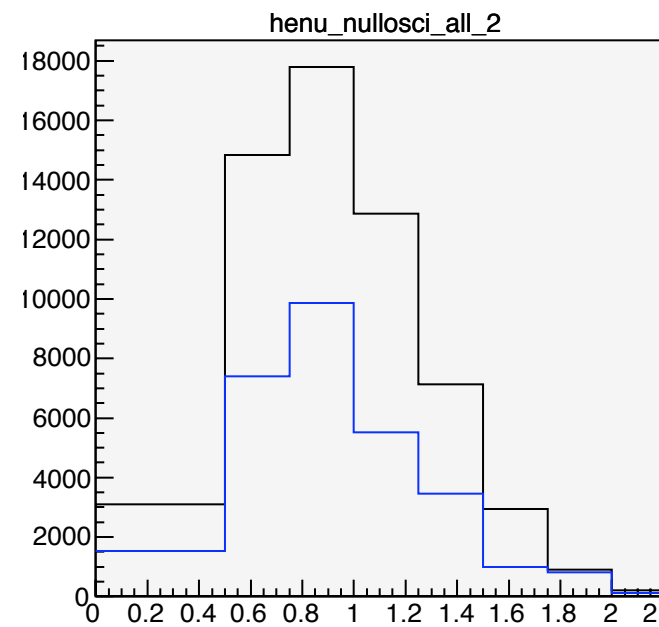
P(MB)/P(SB)



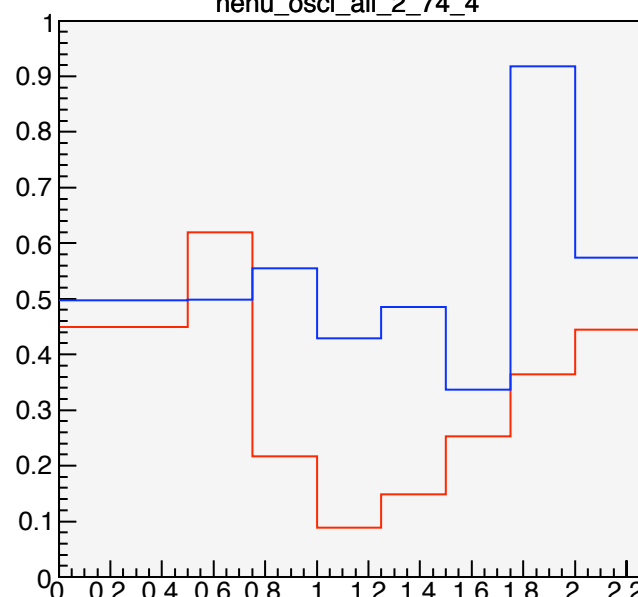
SB Enu



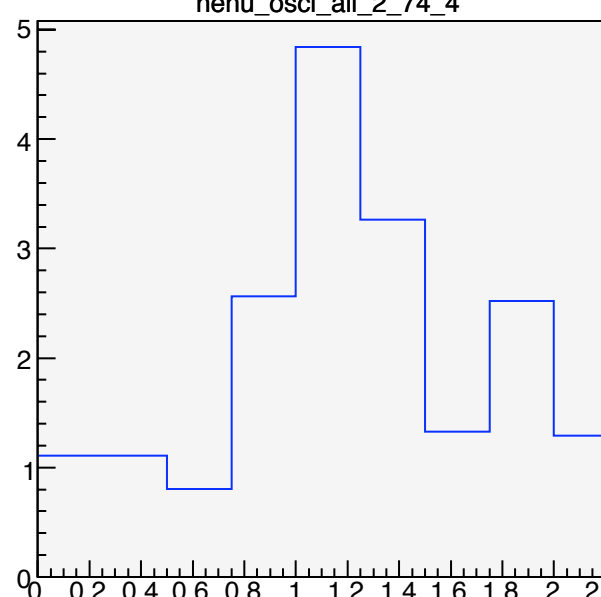
MB Enu



P(SB) and P(MB)

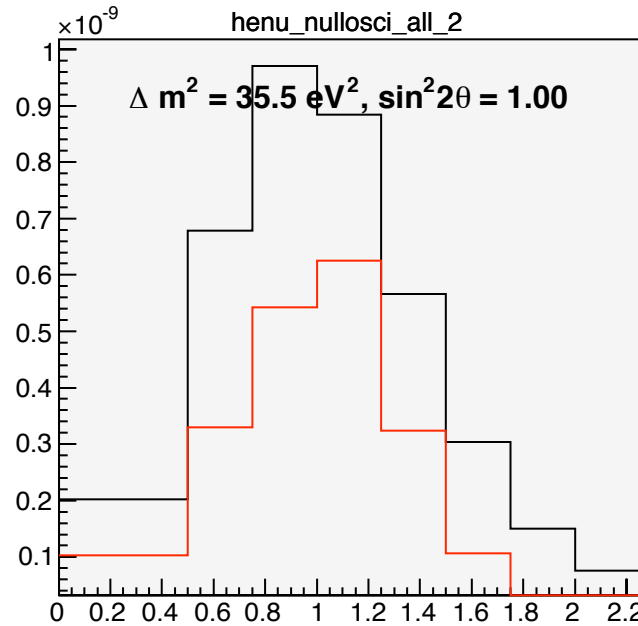


P(MB)/P(SB)

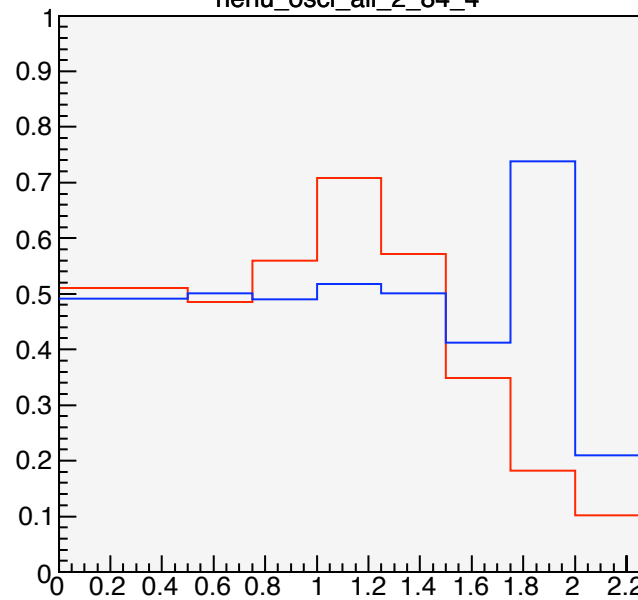


- Oscillation maximum at MiniBooNE detector at $\sim 2 \text{ eV}^2$
- Oscillation maximum at SciBooNE detector at $\sim 20 \text{ eV}^2$

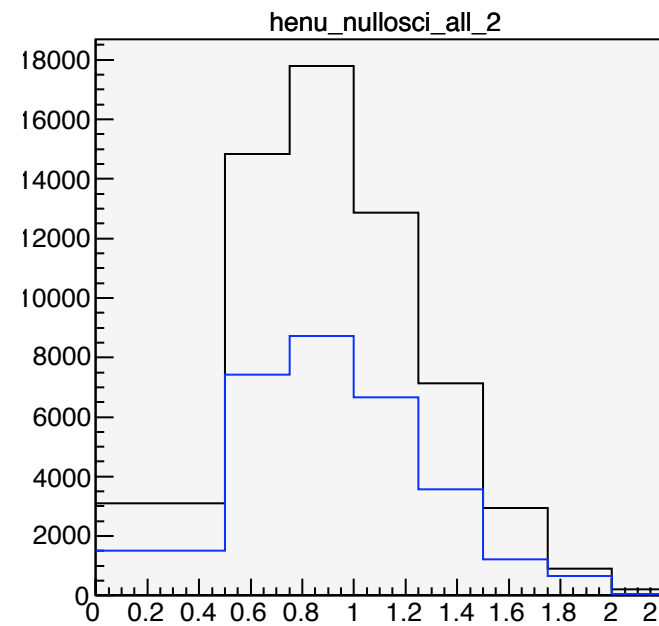
SB Enu



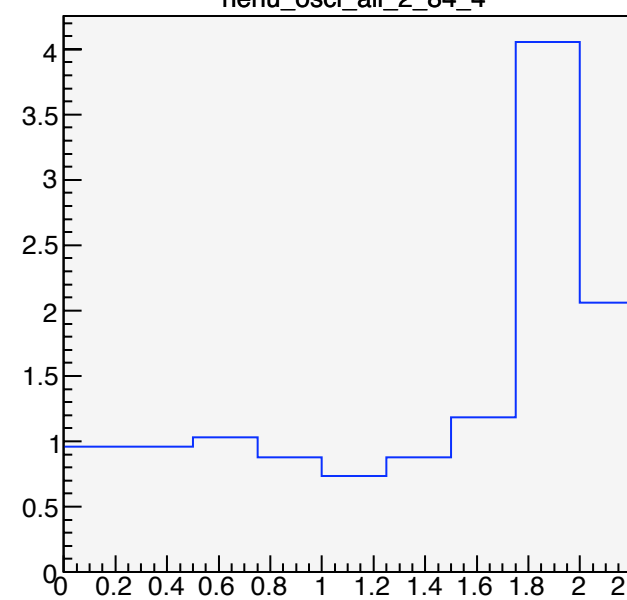
P(SB) and P(MB)



MB Enu

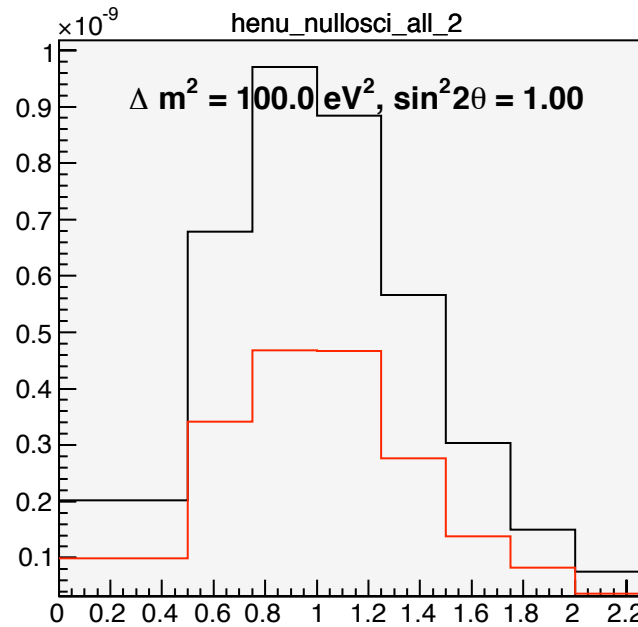


P(MB)/P(SB)

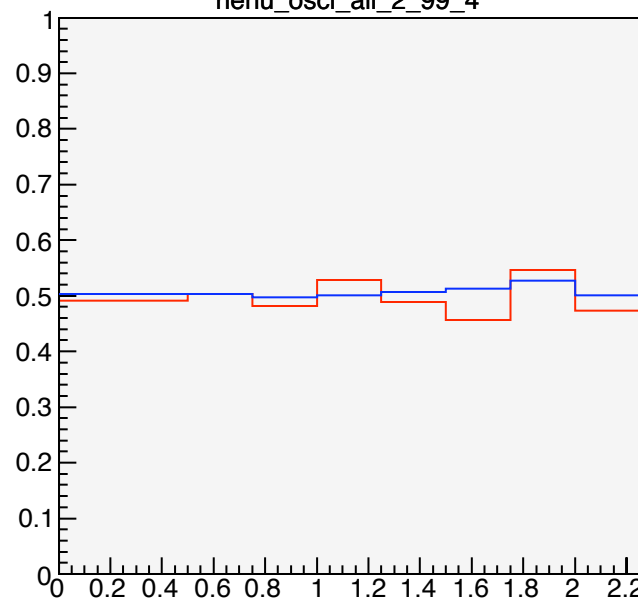


- Oscillation maximum at MiniBooNE detector at $\sim 2 \text{ eV}^2$
- Oscillation maximum at SciBooNE detector at $\sim 20 \text{ eV}^2$

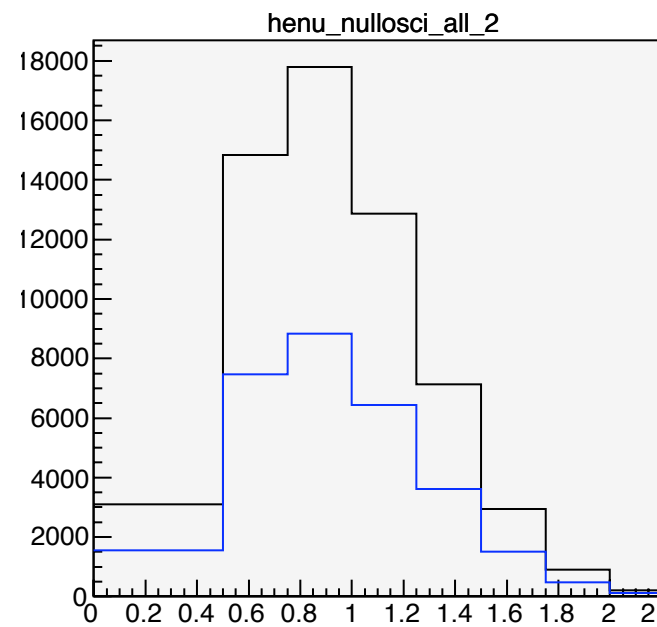
SB Enu



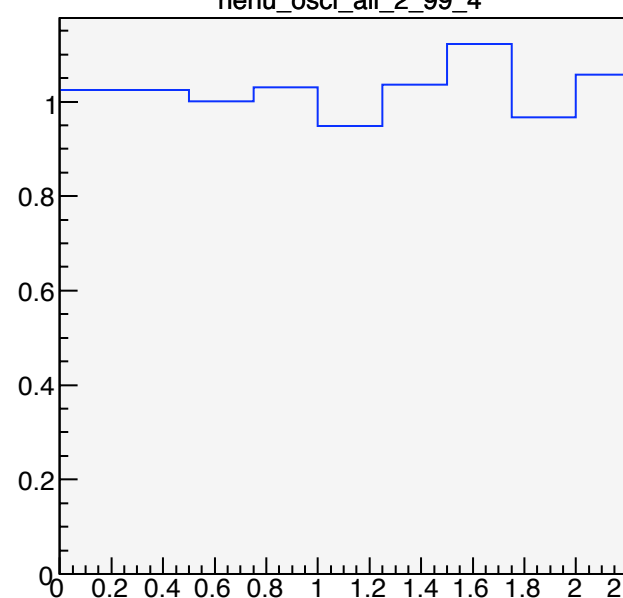
P(SB) and P(MB)



MB Enu

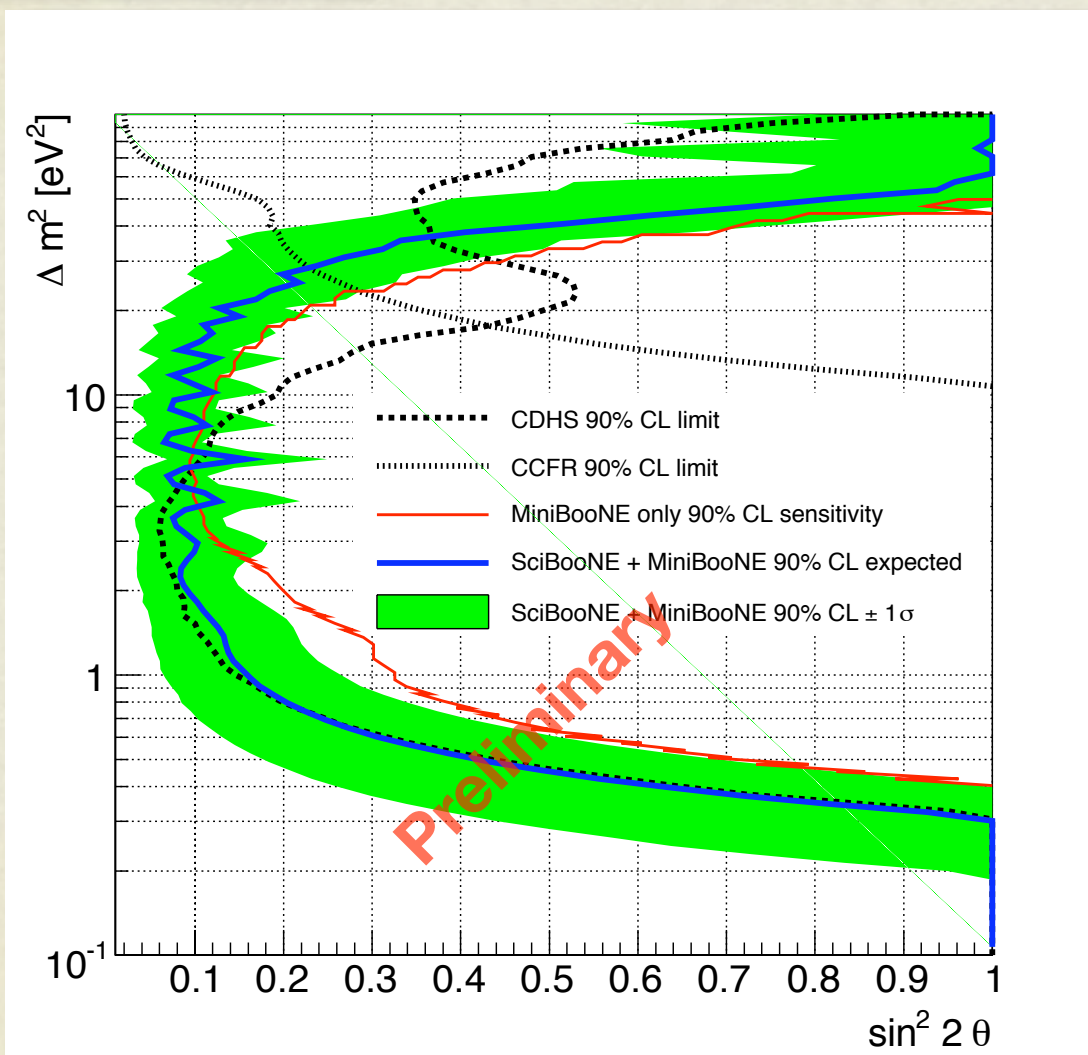


P(MB)/P(SB)



- Oscillation maximum at MiniBooNE detector at $\sim 2 \text{ eV}^2$
- Oscillation maximum at SciBooNE detector at $\sim 20 \text{ eV}^2$
- Oscillation effect completely washed out above $\sim 100 \text{ eV}^2$

Oscillation Sensitivity



- MiniBooNE単独での測定に比べ、特にlow- Δm^2 領域で感度を向上
- 近日中にdataのfit結果を発表できるはずです。

まとめ

- SciBooNEとMiniBooNE両方のデータを用いた、 $\Delta m^2 \sim 1\text{eV}^2$ 領域のニュートリノ振動の探索を行っている
- これまでに、解析手法を確立、感度の見積もりを行った
 - MiniBooNE単独に比べ感度を向上
- 近日中に結果を発表
- 反ニュートリノデータの解析も進行中